



MD – STATIKA ,s.r.o. zapísaná na Okr. súde Košice I, oddiel :Sro, Vložka číslo:33943/V,
tel./fax: +421 911 094 806, e-mail: mdstatika@gmail.com, IČO: 47 481 714, IČ DPH: SK 202 389 9944

REKONŠTRUKCIA A MODERNIZÁCIA ZÁKLADNEJ ŠKOLY HRONCOVA 23

parcela číslo: **2529/1, Severné mesto**

Investor: **ZŠ Hroncova 23**

STATIKA

Statické posúdenie stavby

Stupeň:

Projekt pre stavebné povolenie

Dátum spracovania:

02 / 2025

Vypracoval:

Ing. Jakub Filinský

Zodpovedný projektant:

Ing. Marián Dragošek



MD – STATIKA ,s.r.o. zapísaná na Okr. súde Košice I, oddiel: Sro, Vložka číslo:33943/V,
tel./fax: +421 911 094 806, e-mail: mdstatika@gmail.com,
IČO: 47 481 714, IČ DPH: SK 202 389 9944

Statické posúdenie stavby

Názov stavby: **REKONŠTRUKCIA A MODERNIZÁCIA ZÁKLADNEJ ŠKOLY HRONCOVA 23,
KOŠICE**

Miesto Stavby: **HRONCOVA 23, 040 01, KOŠICE**

Stavebník: **ZŠ Hroncova 23**

Spracovateľ: **Ing. Jakub Filinský**

Dátum spracovania: **02/2025**

Úvod

Predmetom riešenia je rekonštrukcia a modernizácia základnej školy Hroncova 23 v mestskej časti Košice-sever.

Podklady

Podkladom pre spracovanie projektu bol:

- projekt stavebnej časti vypracovaný Ing. arch. Martin Schaller

Popis stavby

Objekt sa skladá z dvoch objektov SO 100 (ďalej pavilón IV.) a SO 200 (ďalej prepojavací tunel).

Pavilón IV má pôdorysné rozmery nosných konštrukcií 45,55 m x 20,72 m. Objekt má výšku po atiku strechy +7,50 m. Objekt sa skladá z dvoch plnohodnotných nadzemných podlaží. Konštrukčná výška 1. NP je 3,290 a konštrukčná výška 2. NP je 3,610 m. Nosný systém objektu je obojsmerný skeletový. V priečnom smere je raster nosných stĺpov najmenej 3,325 m a najviac 6,550 m. V pozdĺžnom smere je raster nosných stĺpov minimálne 4,75 m, najviac 5,50 m. Objekt je založený na dvojstupňových základových pätkách pod nosnými stĺpmi a v mieste styku s jestvujúcim objektom a po obvode je navrhnutý základový pás. Základové konštrukcie, stropné konštrukcie a zvislé nosné stĺpy sú železobetónové monolitické. Objekt je prestrešený plochou strechou. Zvislé komunikácie v objekte zabezpečuje jedno jednoramenné a jedno dvojramenné železobetónovo schodisko a jeden výťah.

Prepojovací tunel má pôdorysné rozmery nosných konštrukcií 76,825 m x 2,50 m. Objekt má výšku po atiku strechy +3,53 m. Objekt sa skladá z jedného nadzemného podlažia. Konštrukčná výška podlažia je premenlivá od +3,28 m do +4,25 m. Nosný systém v objekte je tvorený stropnými dielcami YTONG z autoklávovaného porobetónu. Objekt je v celom rozsahu založený na základových pásoch, ktoré budú vyhotovené ako železobetónové, monolitické. Objekt je prestrešený plochou strechou.

Stavebno – technické riešenie

Základové konštrukcie

Na mieste staveniska nebol prevedený hydrogeologický prieskum. Pred začatím výkopových prác odporúčame vyhotoviť tento prieskum vykonať a na základe výsledkov a zistených parametrov zemín preveriť zvolené zakladanie.

Pavilón IV bude založený na základových pätkách (ZP1) dvojstupňových pod strednými nosnými stĺpmi objektu, ktoré majú pôdorysný rozmer 2,0 x 6,1 m s hĺbkou založenia -1,35 m pod ÚT. Výška spodného stupňa je 500 mm. Základové pätky dvojstupňové pod obvodové nosné stĺpy v západnej časti objektu (ZP2) majú pôdorysný rozmer 2,5 x 2,5 m s hĺbkou založenia -1,35 m pod ÚT. Výška spodného stupňa je 500 mm. Základové pätky dvojstupňové pod obvodové nosné stĺpy v východnej časti objektu (ZP3) majú pôdorysný rozmer 1,2 x 1,2 m s hĺbkou založenia -1,35 m pod ÚT. Výška spodného stupňa je 500 mm. Základové pätky dvojstupňové pod obvodové nosné stĺpy v severnej časti objektu (ZP4) majú pôdorysný rozmer 2,0 x 2,0 m s hĺbkou založenia -1,35 m pod ÚT. Výška spodného stupňa je 500 mm. V južnej časti objektu sa pod obvodové nosné stĺpy vyhotoví základový pás (ZP5) s pôdorysným rozmerom 22,35 x 1,0 m s hĺbkou založenia -1,15 m pod ÚT. Výška základového pásu je 800 mm. Pod exteriérové schodisko je navrhnutý základ s rozmermi 2,2 x 5,0 m a s hĺbkou založenia -1,35 m pod ÚT. V rámci prechodovej časti pavilónu sú po celom obvode navrhnuté základové pásy šírky 0,6 m až 0,8 m a hĺbkou založenia -1,09 m pod ÚT.

V mieste výťahovej šachty sa zrealizuje priehlbneň. Hĺbka priehlbne bude riešená v realizačnom projekte v zmysle požiadaviek pre konkrétny výťah. Základové konštrukcie sa zrealizujú z betónu triedy C25/30 a vystužia sa prúťovou výstužou B500B s krytím výstuže 50 mm. Do základových pätiiek sa osadí štartovacia výstuž do monolitických stĺpov.

Prepojovací tunel má navrhnuté základové pásy v celom rozsahu so šírkou 0,5 m a hĺbkou založenia -1,62 m pod ÚT.

Zvislé nosné konštrukcie

Zvislé nosné prvky pavilónu IV tvoria železobetónové monolitické stĺpy prierezu 300 x 300 mm. Stĺpy sa vyhotovia z betónu triedy C25/30. resp. C30/37. A vystužia sa prúťovou výstužou B500B s krytím výstuže 30 mm. V mieste výťahu je železobetónové stužujúce jadro s hrúbkami stien 200 mm. Ako výplňové murivo sa použije murivo z murovacích tvárnic hrúbky 300 mm. Murivo môže byť z tehlových alebo pórobetónových tvárnic.

Zvislé nosné prvky prepojavacieho tunelu tvorí výplňové murivo z murovacích tvárnic hrúbky 250 mm. Murivo môže byť z tehlových alebo pórobetónových tvárnic. V rámci objektu tunela sa nachádza aj rám s oceľovými stĺpmi prierezu 120x120x5 mm s rozpätím maximálne 5 m.

Vodorovné nosné konštrukcie

Vodorovné nosné konštrukcie pavilónu IV tvoria železobetónové monolitické stropy. Stropy nad 1. NP a 2. NP sú hrúbky 180 mm. Stropy objektu sa zrealizujú z betónu triedy C25/30 a vystužia sa prúťovou výstužou B500B s krytím výstuže betónom 30 mm. V stropoch budú vynechané prestupy pre zdravotníctvo a ostatné rozvody.

Vodorovné nosné prvky prepojavacieho tunelu tvoria stropné dielce YTONG z autoklávovaného porobetónu hrúbky 200 mm s dĺžkou uloženia minimálne 100 mm na každej strane dielca. Zaťaženie panela predstavuje tiaž vrstvenej konštrukcie (viď. skladba S3), sneh a mimoriadny sneh (viď kapitola zaťaženie snehom).

rozmery dl × š × tl	návrhové zaťaženie bez vlastnej tiaže v závislosti od dĺžky a použitia dielca ²¹	požiarna odolnosť
mm	kN/m ²	min
max. 6 000 × 625 × 300	min. 3,00 – max. 8,00	REI 90
max. 6 000 × 625 × 240	min. 3,00 – max. 8,00	REI 90
max. 5 250 × 625 × 200	min. 3,00 – max. 8,00	REI 90 ²¹
max. 4 500 × 625 × 175	min. 2,60 – max. 7,80	REI 90
max. 3 750 × 625 × 150	min. 2,00 – max. 8,00	REI 90
max. 3 100 × 625 × 125	min. 2,00 – max. 7,00	REI 30

Schodiská

V rámci pavilónu IV je navrhnuté jedno exteriérové dvojramenné a interiérové jednoramenné schodisko. Medzipodesta exteriérového schodiska sa zrealizuje ako železobetónová monolitická pripojená do stužujúcej steny a podopretá prievlakom hr. 400 mm. Schodiskové ramená budú tvorené doskami hrúbky 150 mm. Schodiskové ramená budú monolitické, železobetónové. Schodiská sa zrealizujú z betónu triedy C25/30 a vystužia sa prúťovou výstužou B500B s krytím výstuže betónom 30 mm. Interiérové schodisko je navrhnuté ako železobetónové jednoramenné s hrúbkou dosiek 150 mm. V rámci prepojavacieho tunelu nie je navrhnuté žiadne schodisko.

Zaťaženie objektu

V statickom výpočte bolo uvažované s normovou objemovou tiažou stavebných materiálov navrhnutých v podkladoch. Náhodné zaťaženie je podľa STN EN 1991-1-1 – Zaťaženia konštrukcií. Každá zmena zaťaženia vyžaduje posúdenie vplyvu zmeny na statiku stavby.

Vlastná tiaž objektu

Vlastná tiaž objektu je generovaná automaticky výpočtovým programom na základe nastaveného materiálu a hrúbky resp. prierezu daného prvku.

Stále zaťaženie

Stále zaťaženie objektu vo výpočtovom modeli predstavuje zaťaženie od vrstvených konštrukcií – skladieb podláh a podobne.

Zaťaženie skladbou podláh v interiéri pavilónu IV

Číslo vrstvy	Názov vrstvy	h	γ	g_{ki}
		[m]	[kN/m ³]	[kN/m ²]
1	Keramická dlažba	0,010	20,000	0,200
2	Lepidlo	0,005	20,000	0,100
3	Nivelizácia	0,005	20,000	0,100
4	Betónový poter	0,050	22,000	1,100
5	Kročajová izolácia	0,030	0,350	0,011
6	Podhľad	-	-	0,500
Σ		-	-	2,01

SKLADBA STRECHY S1 - SO 100 - nad poschodovou časťou

Číslo vrstvy	Názov vrstvy	h	γ	g_{ki}
		[m]	[kN/m ³]	[kN/m ²]
1	Geotextília	0,005	11,000	0,055
2	TI na báze MV	0,200	0,200	0,040
3	TI na báze EPS	0,400	0,400	0,160
Σ		-	-	0,26

SKLADBA STRECHY S2 - SO 100 - nad prízemnou časťou

Číslo vrstvy	Názov vrstvy	h	γ	g_{ki}
		[m]	[kN/m ³]	[kN/m ²]
1	Strešný substrát	0,100	20,000	2,000
2	Geotextília	0,015	11,000	0,165
3	TI na báze EPS	0,300	0,400	0,120
Σ		-	-	2,29

SKLADBA STRECHY S3 - SO 100 - nad spojovacím tunelom

Číslo vrstvy	Názov vrstvy	h	γ	g_{ki}
		[m]	[kN/m ³]	[kN/m ²]
1	Štrkové lôžko fr. 4/8	0,050	20,000	1,000
2	TI na báze EPS	0,350	0,400	0,140
Σ		-	-	1,14

SKLADBA STRECHY S4 - SO 100 - nad šachtami (výťah a VZT)

Číslo vrstvy	Názov vrstvy	h	γ	g_{ki}
		[m]	[kN/m ³]	[kN/m ²]
1	Geotextília	0,005	11,000	0,055
2	Spádové dosky	0,050	0,500	0,025
Σ		-	-	0,08

Náhodilé zaťaženie

Nahodilé zaťaženie objektu vo výpočtovom modeli predstavuje zaťaženie od úžitkového zaťaženia priestorov podľa určenia v zmysle STN EN 1991-1-1.

Plochy, kde sa ľudia môžu zhromažďovať – C1 - stropy - **3,0 kN/m²**

Plochy, kde sa ľudia môžu zhromažďovať – C1 – balkóny a schodiská - **3,0 kN/m²**

Zaťaženie priestorov deliacimi priečkami – **1,2 kN/m²**

Zaťaženie vetrom

Zaťaženie vetrom je na konštrukciu generované automaticky cez zaťažovacie panely a 3D vietor vo výpočtovom programe. Vstupné parametre pre výpočet zaťaženia vetrom je v zmysle platnej STN EN 1991-1-4.

Zaťaženie Snehom

3.1 ZAŤAŽENIE SNEHOM

PRE TRVALÉ/DOČASNÉ NÁVRHOVÉ SITUÁCIE: STN EN 1991-1-3 Čl. 5.2(3-a) A STN EN 1991-1-3/NA1'2012

SÚČINITEL			CHARAKTERISTICKÉ ZAŤAŽENIE NA POVRCHU ZEMĚ				ZAŤAŽENIE NA STRECHE		
TVARU ZAŤ. SNEHOM	EXPOZÍCIE	TEPELNÝ	SÚČINITEL	SÚČINITEL	m n.m		CHAR.		NÁVRHOVÉ
μ_i	C_e	C_t	a	b	A	s_k	s	Y_Q	s_d
[-]	[-]	[-]	[-]	[-]	[m]	[kN.m ⁻²]	[kN.m ⁻²]	[-]	[kN.m ⁻²]
0,80	1,00	1,00	0,454	970	217	0,68	0,54	1,5	0,81
Zóna:		1		Normálna topografia: plochy, kde sa nevyskytuje výrazné					
Topografia:		2_normálna (bežná)		odfukovanie snehu účinkami vetra na stavbu zapríčinené terénom,					
Typ strechy:		plochá		zástavbou alebo stromami.					
Sklon strešných rovin [°]		0,00							

3.1 ZAŤAŽENIE SNEHOM

PRE MIMORIADNE NÁVRHOVÉ SITUÁCIE, KDE VÝNIMOČNÉ ZAŤAŽENIE SNEHOM JE MIMORIADNE ZAŤAŽENIE:

STN EN 1991-1-3 Čl. 5.2(3-b) A STN EN 1991-1-3/NA1'2012

SÚČINITEL			CHARAKTERISTICKÉ ZAŤAŽENIE NA POVRCHU ZEME				CHAR. Z.		
TVARU ZAŤ. SNEHOM	EXPOZÍCIE	TEPELNÝ	PRE RÔZNE TOPOGRAFIE	SÚČINITEL	SÚČINITEL	m n.m		VÝNIMOČNÉ	NA STRECHE
μ_i	C_e	C_t	C_{est}	a	b	A	s_k	s_{Ad}	s
[-]	[-]	[-]	[-]	[-]	[-]	[m]	[kN.m ⁻²]	[kN.m ⁻²]	[kN.m ⁻²]
0,80	1,00	1,00	2,50	0,454	970	217	0,68	1,69	1,36
Zóna:		1		Normálna topografia: plochy, kde sa nevyskytuje výrazné					
Región:		3		odfukovanie snehu účinkami vetra na stavbu zapríčinené terénom,					
Topografia:		2_normálna (bežná)		zástavbou alebo stromami.					
Typ strechy:		plochá							
Sklon strešných rovin [°]		0,00							

Normy

STN EN 1992-1-1 – Navrhovanie betónových konštrukcií

STN EN 1993-1-1 – Navrhovanie oceľových konštrukcií

STN EN 1991-1-1 – Zaťaženia konštrukcií

STN EN 1991-1-4 – Zaťaženia vetrom

STN EN 1991-1-3 – Zaťaženia snehom

Prílohy

- Výpočet základov 6 strán
- Statický výpočet 18 strán
- Statický výpočet oceľových stĺpov rámu tunela 8 strán

Záver

Na základe vykonaných statických výpočtov konštatujem, že nosné konštrukcie objektov SO 100 a SO 200 vyhovujú kritériám spoľahlivosti podľa technických noriem. Nosné konštrukcie objektu budú spoľahlivo prenášať zaťaženia počas celej životnosti konštrukcie.

V Košiciach

Vypracoval:

Ing. Jakub Filinský

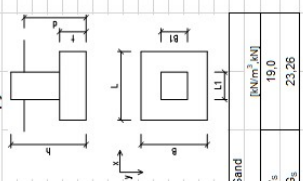
Zodpovedný projektant:

Ing. Marián Dragošek

Základová päťka ZP2 – 2,5 x 2,5 m

</

Základová päťka ZP3 – 1,3 x 1,3 m

Základová päťka pod stredné nosné stĺpy									
Input data									
Geometry									
L	1,30								
B	1,30								
h	1,00								
d	1,35								
L1	0,50								
B1	0,50								
Dead load									
Concrete									
		[kN/m³]		Sand		[kN/m³]			
γ _s		25,0		γ _s		19,0			
G _s		24,25		G _s		23,26			
									
kombi	Rx	Ry	Rz	Mx	My	Mz	ΣFx =	ΣFy =	ΣMx =
MSU-S4	2,86	-13,16	165,17	16,84	4,97	-0,19	212,68	7,83	3,0
MSU-S4	1,13	-0,13	106,94	-9,26	2,12	-0,03	154,45	3,25	3,39
MSU-S4	2,28	-11,19	168,22	13,09	4,05	-0,16	215,73	6,33	24,28
MSU-S4	1,36	1,95	107,88	-7,26	2,47	-0,03	155,39	3,33	9,21
MSU-S4	-6,11	-3,68	116,52	2,43	-9,57	-0,09	164,03	15,68	6,11
MSU-S4	-7,6	-6,35	156,31	5,14	12,61	-0,04	203,82	20,21	11,49
MSU-S4	3,69	-13,01	164,52	16,61	6,31	-0,21	212,03	10,00	29,62
MSU-S4	6,33	-3,78	110,42	-2,88	10,5	0,03	157,93	16,83	6,66
MSU-S4	4,33	-13,46	143,33	17,87	6,93	-0,17	190,84	11,26	31,33
MSU-S4	1,76	0,37	88,53	-3,73	2,8	-0,04	136,04	4,56	4,1
MSU-S4	3,01	-11,26	146	13,66	4,8	-0,12	193,51	7,61	24,92
MSU-S4	1,17	2,5	90,34	-7,87	1,84	-0,01	137,85	3,01	10,37
MSU-S4	-5,41	-3,68	97,38	2,82	-8,8	-0,08	144,89	14,21	6,5
MSU-S4	8,26	-5,49	135,24	4,08	13,31	0	182,75	21,57	9,57
MSU-S4	4,34	-12,61	136,38	16,99	6,96	-0,18	183,89	11,30	29,6
MSU-S4	6,94	-3,55	99,97	2,28	11,18	0,04	147,48	18,12	5,83
MSU-S4	-5,42	-5,4	110,83	5,11	-8,75	-0,03	156,34	14,17	10,51
MSU-S4	8,28	-5,05	144,44	3,67	13,34	0,05	191,95	21,62	8,72
MSU-S4	4,26	-14,92	156,11	20,27	6,88	-0,11	203,62	11,14	35,19
MSU-S4	1,4	-0,26	100,62	-2,91	2,21	0	146,33	3,61	3,17
MSU-S4	5,4	-14,4	156,34	15,57	5,49	-0,06	183,85	8,61	29,17
MSU-S4	1,22	5,08	101,16	-1,74	1,84	0,03	148,3	1,86	9,84
MSU-S4	-5,42	-5,06	108,71	4,78	13,34	0,06	194,07	21,61	9,37
MSU-S4	8,27	-5,38	146,56	3,98	13,34	0,06	194,80	11,31	32,79
MSU-S4	-4,34	-13,71	147,29	19,08	6,97	-0,13	194,80	11,31	32,79
MSU-S4	6,97	-4,02	113,75	2,52	11,26	0,09	161,26	18,23	6,54
Check - limit eccentricity									
		1/3 L		ex		ΣMx =		ΣMy =	
		0,433		0,037		7,83		3,0	
		0,433		0,021		3,25		3,39	
		0,433		0,029		6,33		24,28	
		0,433		0,025		3,33		9,21	
		0,433		0,066		15,68		6,11	
		0,433		0,099		20,21		11,49	
		0,433		0,047		10,00		29,62	
		0,433		0,107		16,83		6,66	
		0,433		0,059		31,33		4,1	
		0,433		0,034		4,56		10,51	
		0,433		0,040		7,61		24,92	
		0,433		0,075		3,01		10,37	
		0,433		0,045		14,21		6,5	
		0,433		0,052		9,57		21,57	
		0,433		0,061		11,30		18,12	
		0,433		0,040		5,83		10,51	
		0,433		0,068		10,51		8,72	
		0,433		0,045		8,72		11,13	
		0,433		0,055		35,19		0,055	
		0,433		0,173		0,024		0,024	
		0,433		0,021		0,024		0,024	
		0,433		0,033		0,033		0,033	
		0,433		0,083		0,083		0,083	
		0,433		0,063		0,063		0,063	
		0,433		0,048		0,048		0,048	
		0,433		0,041		0,041		0,041	
Check - bearing capacity									
		σ _{eff}		σ _{eff}		σ _{eff}		σ _{eff}	
		[MPa]		[MPa]		[MPa]		[MPa]	
		1,248		1,248		1,248		1,248	
		1,580		1,580		1,580		1,580	
		1,334		1,334		1,334		1,334	
		1,478		1,478		1,478		1,478	
		1,359		1,359		1,359		1,359	
		1,308		1,308		1,308		1,308	
		1,231		1,231		1,231		1,231	
		1,321		1,321		1,321		1,321	
		1,148		1,148		1,148		1,148	
		1,529		1,529		1,529		1,529	
		1,271		1,271		1,271		1,271	
		1,444		1,444		1,444		1,444	
		1,336		1,336		1,336		1,336	
		1,272		1,272		1,272		1,272	
		1,151		1,151		1,151		1,151	
		1,287		1,287		1,287		1,287	
		1,388		1,388		1,388		1,388	
		1,299		1,299		1,299		1,299	
		1,136		1,136		1,136		1,136	
		1,573		1,573		1,573		1,573	
		1,428		1,428		1,428		1,428	
		1,236		1,236		1,236		1,236	
		1,476		1,476		1,476		1,476	
		1,313		1,313		1,313		1,313	
		1,268		1,268		1,268		1,268	
		1,140		1,140		1,140		1,140	
		1,309		1,309		1,309		1,309	
		1,580		1,580		1,580		1,580	
		1,334		1,334		1,334		1,334	
		1,478		1,478		1,478		1,478	
		1,359		1,359		1,359		1,359	
		1,308		1,308		1,308		1,308	
		1,231		1,231		1,231		1,231	
		1,321		1,321		1,321		1,321	
		1,148		1,148		1,148		1,148	
		1,529		1,529		1,529		1,529	
		1,271		1,271		1,271		1,271	
		1,444		1,444		1,444		1,444	
		1,336		1,336		1,336		1,336	
		1,272		1,272		1,272		1,272	
		1,151		1,151		1,151		1,151	
		1,287		1,287		1,287		1,287	
		1,388		1,388		1,388		1,388	
		1,299		1,299		1,299		1,299	
		1,136		1,136		1,136		1,136	
		1,573		1,573		1,573		1,573	
		1,428		1,428		1,428		1,428	
		1,236		1,236		1,236		1,236	
		1,476		1,476		1,476		1,476	
		1,313		1,313		1,313		1,313	
		1,268		1,268		1,268		1,268	
		1,140		1,140		1,140		1,140	
		1,309		1,309		1,309		1,309	
		1,580		1,580		1,580		1,580	
		1,334		1,334		1,334		1,334	
		1,478		1,478		1,478		1,478	
		1,359		1,359		1,359		1,359	
		1,308		1,308		1,308		1,308	
		1,231		1,231		1,231		1,231	
		1,321		1,321		1,321		1,321	
		1,148		1,148		1,148		1,148	
		1,529		1,529		1,529		1,529	
		1,271		1,271		1,271		1,271	
		1,444		1,444		1,444		1,444	
		1,336		1,336		1,336		1,336	
		1,272		1,272		1,272		1,272	
		1,151		1,151		1,151		1,151	
		1,287		1,287		1,287		1,287	
		1,388		1,388		1,388		1,388	
		1,299		1,299		1,299		1,299	
		1,136		1,136		1,136		1,136	
		1,573		1,573		1,573		1,573	
		1,428		1,428		1,428		1,428	
		1,236		1,236		1,236		1,236	
		1,476		1,476		1,476		1,476	
		1,313		1,313		1,313		1,313	
		1,268		1,268		1,268		1,268	
		1,140		1,140		1,140		1,140	
		1,309		1,309		1,309		1,309	
		1,580		1,580		1,580		1,580	
		1,334		1,334		1,334		1,334	
		1,478		1,478		1,478		1,478	
		1,359		1,359		1,359		1,359	
		1,308		1,308		1,308		1,308	
		1,231		1,231		1,231		1,231	
		1,321		1,321		1,321		1,321	
		1,148		1,148		1,148		1,148	
		1,529		1,529		1,529		1,529	
		1,271		1,271		1,271		1,271	
		1,444		1,444		1,444		1,444	
		1,336		1,336		1,336		1,336	
		1,272		1,272		1,272		1,272	
		1,151		1,151		1,151		1,151	
		1,287		1,287		1,287		1,287	
		1,388		1,388		1,388		1,388	
		1,299		1,299		1,299		1,299	
		1,136		1,136		1,136		1,136	
		1,573		1,573		1,573		1,573	
		1,428		1,428		1,428		1,428	
		1,236		1,236		1,236		1,236	
		1,476		1,476		1,476		1,476	
		1,313		1,313		1,313		1,313	
		1,268		1,268		1,268		1,268	
		1,140		1,140		1,140		1,140	
		1,309		1,309		1,309		1,309	
		1,580		1,580		1,580		1,580	
		1,334		1,334		1,334		1,334	
		1,478		1,478		1,478		1,478	
		1,359		1,359		1,359		1,359	
		1,308		1,308		1,308		1,308	
		1,231		1,231		1,231		1,231	
		1,321		1,321		1,321		1,321	
		1,148		1,148		1,148		1,148	
		1,529		1,529		1,529		1,529	
		1,271		1,271		1,271		1,271	
		1,444		1,444		1,444		1,444	
		1,336		1,336		1,336		1,336	

Základová päťka ZP4 – 2,0 x 2,0 m

[illegible]

Reakcia	Dĺžka ZP	Šírka ZP	Plocha ZP	Výška ZP	Súčiniteľ pre stále zaťaženie	Objemová ťaž betónu	Kontaktné napätie σ	Rd	Posúdenie
[kN]	[m]	[m]	[m ²]	[m]	[-]	[kg/m ³]	[MPa]	[MPa]	[-]
911,5	5,725	1	5,725	0,8	1,35	25	182,5	185,0	vyhovuje

Základová patka ZP6																												
Input data																												
Geometry																												
L	[m]																											
B	5,00																											
h	2,20																											
t	1,00																											
L1	1,35																											
B1	0,50																											
	2,00																											
	1,00																											
Dead load																												
Concrete																												
γ_c	[kN/m ³ , kN]																											
G _s	25,0																											
	150,00																											
Sand																												
γ_s	[kN/m ³ , kN]																											
G _s	19,0																											
	161,50																											

Základový pás šírky	800	[mm]					
Prvok, Vrstva	Zaťažovacia plocha		hrúbka,	tiaž [kN/m ³]	q _n	γ _f	q _d
	šírka [m]	dĺžka [m]	výška [m]	zaťaženie [kN/m ²]	[kN]	[-]	[kN]
Vrstva strechy	5,3	1	1	1,8	9,5	1,35	12,9
Doska nad 2. NP	5,3	1	0,22	25	29,2	1,35	39,4
Prievlak nad 2. NP	0,2	1	0,68	25	3,4	1,35	4,6
Murivo 2. NP	0,3	1	2,615	10	7,8	1,35	10,6
Úžikové zaťaženie 1. NP	5,3	1	1	4,2	22,3	1,35	30,1
Stále zaťaženie 1. NP – podlaha	5,3	1	1	1,52	8,1	1,5	12,1
Doska nad 1. NP	5,3	1	0,18	25	23,9	1,35	32,2
Prievlak nad 1. NP	0,2	1	0,51	25	2,6	1,35	3,4
Murivo 1. NP	0,3	1	2,615	10	7,8	1,35	10,6
Základový pás	0,8	1	0,5	23	9,2	1,35	12,4
Spolu [kN]					123,7		168,2

Šírka základového pásu	800	[mm]				
Výpočtová únosnosť základovej pôdy	180	[kPa]				
Extrémne kontaktné napätie	154,6	[kPa]				
Zvislá únosnosť	VYHOVUJE					

Základový pás šírky	600	[mm]					
Prvok, Vrstva	Zaťažovacia plocha		hrúbka,	tiaž [kN/m ³]	q _n	γ _f	q _d
	šírka [m]	dĺžka [m]	výška [m]	zaťaženie [kN/m ²]	[kN]	[-]	[kN]
Murovaná atika	0,2	1	0,6	10	1,2	1,35	1,6
Vrstva strechy	3	1	1	1,8	5,4	1,35	7,3
Doska nad 2. NP	3,3	1	0,22	25	18,2	1,35	24,5
Veniec nad 2. NP	0,3	1	0,23	25	1,7	1,35	2,3
Murivo 2. NP	0,3	1	3,16	10	9,5	1,35	12,8
Úžikové zaťaženie 1. NP	3	1	1	4,2	12,6	1,35	17,0
Stále zaťaženie 1. NP – podlaha	3	1	1	1,52	4,6	1,5	6,8
Doska nad 1. NP	3,3	1	0,18	25	14,9	1,35	20,0
Veniec nad 1. NP	0,3	1	0,32	25	2,4	1,35	3,2
Murivo 1. NP	0,3	1	2,96	10	8,9	1,35	12,0
Základový pás	0,6	1	0,5	23	6,9	1,35	9,3
Spolu [kN]					86,1		117,0
Šírka základového pásu		600	[mm]				
Výpočtová únosnosť základovej pôdy		180	[kPa]				
Extrémne kontaktné napätie		143,6	[kPa]				
Zvislá únosnosť		<u>VYHOVUJE</u>					

Základový pás šírky	500	[mm]					
Prvok, Vrstva	Zaťažovacia plocha		hrúbka,	tiaž [kg/m ³]	q _n	γ _f	q _d
	šírka [m]	dĺžka [m]	výška [m]	zaťaženie [kN/m ²]	[kN]	[-]	[kN]
Atika z DT tvárnic	0,2	1	0,5	25	2,5	1,35	3,4
Vrstva strechy	1,7	1	1	1,14	1,9	1,35	2,6
Stropný panel YTONG nad 1. NP	1,7	1	0,2	6,5	2,2	1,35	3,0
Veniec nad 1. NP	0,25	1	0,5	25	3,1	1,35	4,2
Murivo 1. NP	0,5	1	3,18	10	15,9	1,35	21,5
Základový pás	0,5	1	0,5	23	5,8	1,35	7,8
Spolu [kN]					31,4		42,4
Šírka základového pásu		500	[mm]				
Výpočtová únosnosť základovej pôdy		180	[kPa]				
Extrémne kontaktné napätie		62,8	[kPa]				
Zvislá únosnosť		<u>VYHOVUJE</u>					

Projekt Rekonštrukcia a modernizácia základnej školy Hroncova 23

1. Obsah

1. Obsah	1
2. Materiály	1
3. Prierezy	1
4. Výpočtový model	3
5. Zaťaženia	3
5.1. Zaťažovacie skupiny	3
5.2. Zaťažovacie stavy	4
5.3. LC2 / stále zaťaženie	6
5.4. LC3 / Priechy	7
5.5. LC4 / Šachovnica 1	7
5.6. LC5 / Šachovnica 2	8
5.7. LC6 / Šachovnica 3	8
5.8. LC7 / zaťaženie atikou	9
5.9. LC8 / zaťaženie od muriva	9
5.10. LC9 / Podhl'ady	10
5.11. LC10 / Sneh	10
5.12. LC11 / Mimoriadny sneh	11
5.13. LC12 / Náhodilé zaťaženie	11
6. Výsledky	12
6.1. 2D vnútorné sily; m_x	12
6.2. 2D vnútorné sily; m_y	12
6.3. 2D vnútorné sily; m_x	13
6.4. 2D vnútorné sily; m_y	13
6.5. 2D vnútorné sily; m_x	14
6.6. 2D vnútorné sily; m_y	14
6.7. 1D vnútorné sily; N	15
6.8. 1D vnútorné sily; M_y	15
6.9. 1D vnútorné sily; M_y	16
6.10. 1D vnútorné sily; V_z	16
6.11. 3D premiestnenie; U_{total}	17

2. Materiály

Oceľ EC3

Názov	ρ [kg/m ³]	E_{mod} [MPa]	μ	Spodný limit [mm]	Horný limit [mm]	F_y [MPa]	F_u [MPa]	Farba
		G_{mod} [MPa]	α [m/mK]					
S 235	7850,00	2,1000e+05	0.3	0,00	40,00	235,0	360,0	■
		8,0769e+04	0,01e-003	40,00	80,00	215,0	360,0	

Názov	Typ	ρ [kg/m ³]	Hustota v čerstvom stave [kg/m ³]	E_{mod} [MPa]	μ	α [m/mK]	$f_{c,k.28}$ [MPa]	Farba
C25/30	Betón	2500,00	2600,00	3,1500e+04	0.2	0,01e-003	25,00	■
C30/37	Betón	2500,00	2600,00	3,2800e+04	0.2	0,01e-003	30,00	■

Vysvetlivky symbolov

Hustota v čerstvom stave	Hodnota hustoty v čerstvom stave sa použije iba v prípade, ak je zadaná spriahnutá doska a jej vlastná tiaž sa berie do úvahy.
--------------------------	--

Výstuž EC2

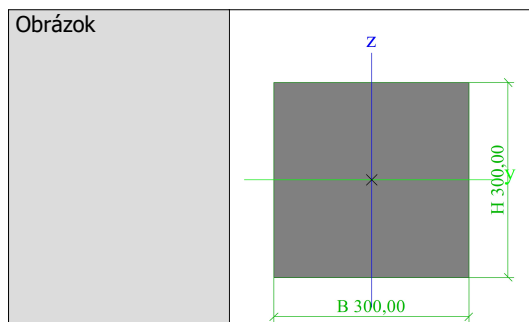
Názov	Typ	ρ [kg/m ³]	E_{mod} [MPa]	G_{mod} [MPa]	α [m/mK]	$f_{y,k}$ [MPa]
B 500B	Betonárska výstuž	7850,00	2,0000e+05	8,3333e+04	0,01e-003	500,0

3. Prierezy

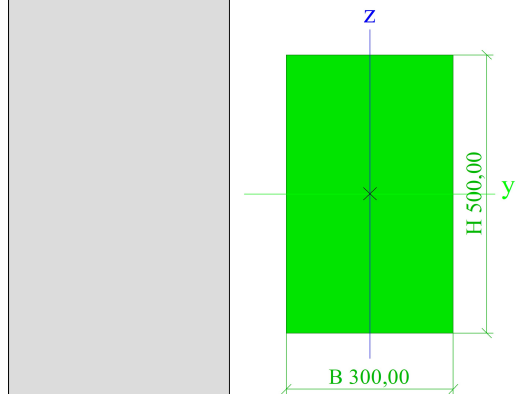
Stĺp 300x300	
Typ	Obdĺžnik
Detailný	300,00; 300,00
Materiálová položka	C30/37
Výroba	betón

Farba	■
-------	---

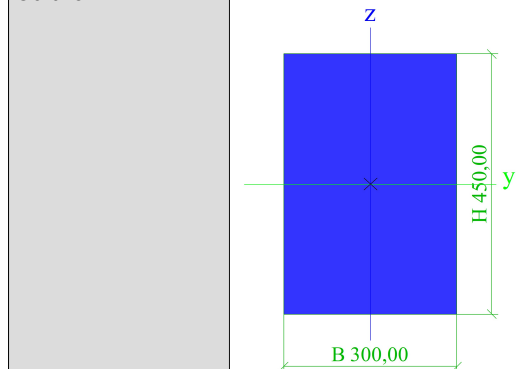
Projekt Rekonštrukcia a modernizácia základnej školy Hroncova 23



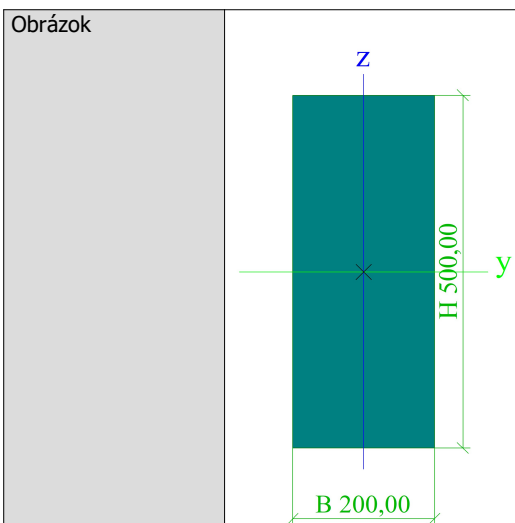
P500x300	
Typ	Obdĺžnik
Detailný	500,00; 300,00
Materiálová položka	C25/30
Výroba	betón
Farba	
Obrázok	



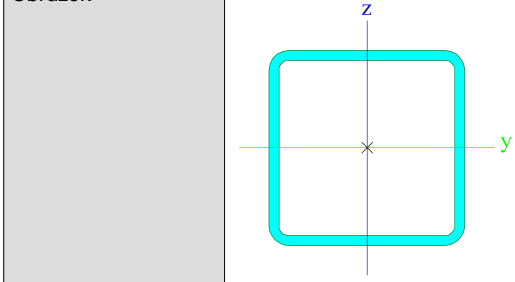
P450x300	
Typ	Obdĺžnik
Detailný	450,00; 300,00
Materiálová položka	C25/30
Výroba	betón
Farba	
Obrázok	



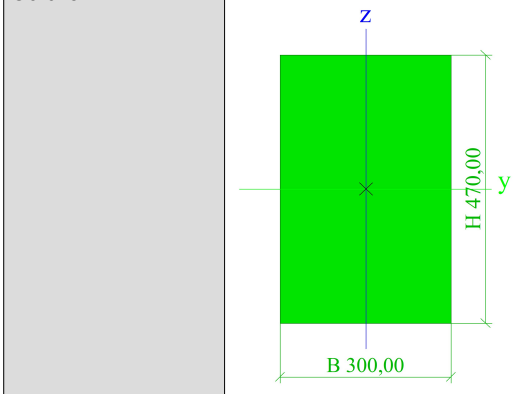
P500x200	
Typ	Obdĺžnik
Detailný	500,00; 200,00
Materiálová položka	C25/30
Výroba	betón
Farba	



Oceľový stĺp	
Typ	CFRHS100X100X5
Kód tvaru	2 - Obdĺžnikový dutý prierez
Materiálová položka	S 235
Výroba	tvarovaný za studena
Farba	
Obrázok	

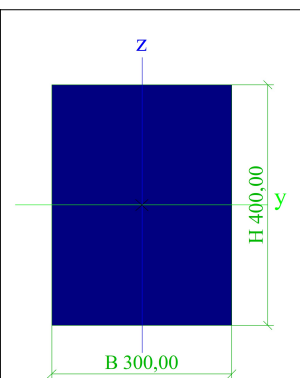


470x300	
Typ	Obdĺžnik
Detailný	470,00; 300,00
Materiálová položka	C25/30
Výroba	betón
Farba	
Obrázok	

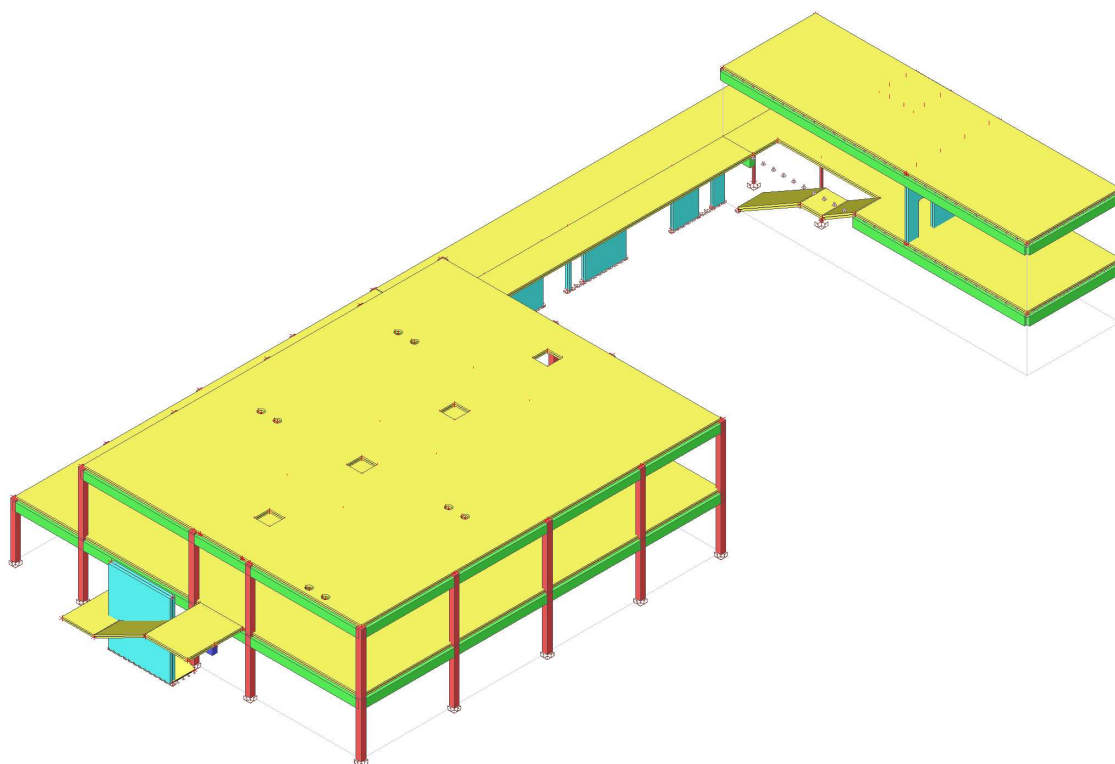


Rebro schodiska	
Typ	Obdĺžnik
Detailný	400,00; 300,00
Materiálová položka	C25/30
Výroba	betón
Farba	

Obrázok



4. Výpočtový model



5. Zat'azenia

5.1. Zat'azovacie skupiny

Názov	Zat'azenie	Špecifikácia	Typ
LG1	Stále		
LG2	Premenné	Štandard	Kat C : zhromaždiská
LG3	Premenné	Štandard	Sneh
LG4	Mimoriadne	Výberová	
LG5	Premenné	Výberová	Vietor

Projekt Rekonštrukcia a modernizácia základnej školy Hroncova 23

5.2. Zaťažovacie stavy

Názov	Popis	Typ pôsobenia	Zaťažovacia skupina	Smer	Dĺžka trvania	Vzorový zaťažovací stav
	Spec	Typ zaťaženia				
LC1	Vlastná tiaž	Stále Vlastná tiaž	LG1	-Z		
LC2	Stále zaťaženie	Stále Štandard	LG1			
LC3	Priečky Štandard	Premenné Statické	LG2		Krátkodobé	Žiadny
LC4	Šachovnica 1 Štandard	Premenné Statické	LG2		Krátkodobé	Žiadny
LC5	Šachovnica 2 Štandard	Premenné Statické	LG2		Krátkodobé	Žiadny
LC6	Šachovnica 3 - chodba Štandard	Premenné Statické	LG2		Krátkodobé	Žiadny
LC7	Zaťaženie atiky	Stále Štandard	LG1			
LC8	Zaťaženie od muriva	Stále Štandard	LG1			
LC9	Podhl'ady	Stále Štandard	LG1			
LC10	Sneh Štandard	Premenné Statické	LG3		Krátkodobé	Žiadny
LC11	Sneh - mimoriadny Štandard	Premenné Statické	LG4		Krátkodobé	Žiadny
LC12	Premenné zaťaženie Štandard	Premenné Statické	LG2		Krátkodobé	Žiadny
3DWind1	0, + CPE, + CPI Statický vietor	Premenné Statické	LG5			Žiadny
3DWind2	0, + CPE, - CPI Statický vietor	Premenné Statické	LG5			Žiadny
3DWind3	0, - CPE, + CPI Statický vietor	Premenné Statické	LG5			Žiadny
3DWind4	0, - CPE, - CPI Statický vietor	Premenné Statické	LG5			Žiadny
3DWind5	90, + CPE, + CPI Statický vietor	Premenné Statické	LG5			Žiadny
3DWind6	90, + CPE, - CPI Statický vietor	Premenné Statické	LG5			Žiadny
3DWind7	90, - CPE, + CPI Statický vietor	Premenné Statické	LG5			Žiadny
3DWind8	90, - CPE, - CPI Statický vietor	Premenné Statické	LG5			Žiadny
3DWind9	180, + CPE, + CPI Statický vietor	Premenné Statické	LG5			Žiadny
3DWind10	180, + CPE, - CPI Statický vietor	Premenné Statické	LG5			Žiadny
3DWind11	180, - CPE, + CPI Statický vietor	Premenné Statické	LG5			Žiadny
3DWind12	180, - CPE, - CPI Statický vietor	Premenné Statické	LG5			Žiadny
3DWind13	270, + CPE, + CPI Statický vietor	Premenné Statické	LG5			Žiadny
3DWind14	270, + CPE, - CPI Statický vietor	Premenné Statické	LG5			Žiadny
3DWind15	270, - CPE, + CPI Statický vietor	Premenné Statické	LG5			Žiadny
3DWind16	270, - CPE, - CPI Statický vietor	Premenné Statické	LG5			Žiadny
3DWind17	0, +/- Cpe, + CPE, + CPI Statický vietor	Premenné Statické	LG5			Žiadny
3DWind18	0, -/+ Cpe, + CPE, + CPI Statický vietor	Premenné Statické	LG5			Žiadny

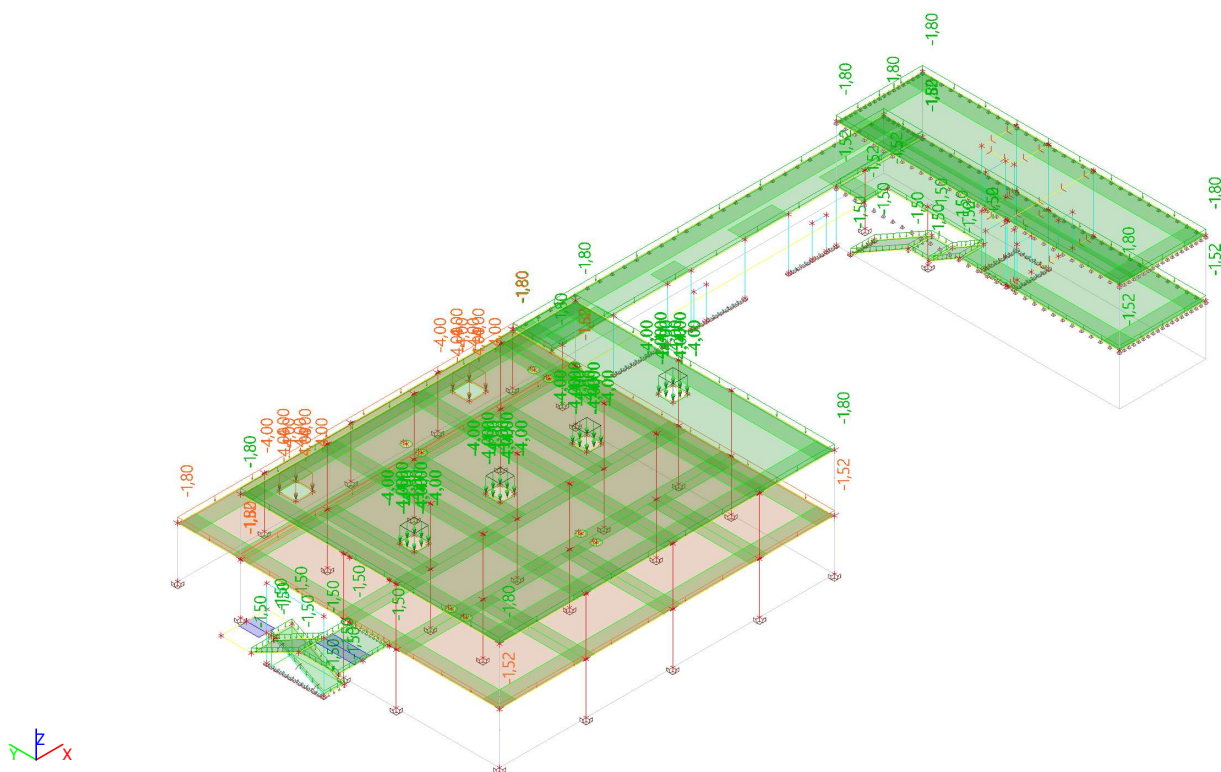
Projekt Rekonštrukcia a modernizácia základnej školy Hroncova 23

Názov	Popis	Typ pôsobenia	Zaťažovacia skupina	Smer	Dĺžka trvania	Vzorový zaťažovací stav
	Spec	Typ zaťaženia				
3DWind19	0, +/- Cpe, + CPE, - CPI Statický vietor	Premenné Statické	LG5			Žiadny
3DWind20	0, -/+ Cpe, + CPE, - CPI Statický vietor	Premenné Statické	LG5			Žiadny
3DWind21	0, +/- Cpe, - CPE, + CPI Statický vietor	Premenné Statické	LG5			Žiadny
3DWind22	0, -/+ Cpe, - CPE, + CPI Statický vietor	Premenné Statické	LG5			Žiadny
3DWind23	0, +/- Cpe, - CPE, - CPI Statický vietor	Premenné Statické	LG5			Žiadny
3DWind24	0, -/+ Cpe, - CPE, - CPI Statický vietor	Premenné Statické	LG5			Žiadny
3DWind25	90, +/- Cpe, + CPE, + CPI Statický vietor	Premenné Statické	LG5			Žiadny
3DWind26	90, -/+ Cpe, + CPE, + CPI Statický vietor	Premenné Statické	LG5			Žiadny
3DWind27	90, +/- Cpe, + CPE, - CPI Statický vietor	Premenné Statické	LG5			Žiadny
3DWind28	90, -/+ Cpe, + CPE, - CPI Statický vietor	Premenné Statické	LG5			Žiadny
3DWind29	90, +/- Cpe, - CPE, + CPI Statický vietor	Premenné Statické	LG5			Žiadny
3DWind30	90, -/+ Cpe, - CPE, + CPI Statický vietor	Premenné Statické	LG5			Žiadny
3DWind31	90, +/- Cpe, - CPE, - CPI Statický vietor	Premenné Statické	LG5			Žiadny
3DWind32	90, -/+ Cpe, - CPE, - CPI Statický vietor	Premenné Statické	LG5			Žiadny
3DWind33	180, +/- Cpe, + CPE, + CPI Statický vietor	Premenné Statické	LG5			Žiadny
3DWind34	180, -/+ Cpe, + CPE, + CPI Statický vietor	Premenné Statické	LG5			Žiadny
3DWind35	180, +/- Cpe, + CPE, - CPI Statický vietor	Premenné Statické	LG5			Žiadny
3DWind36	180, -/+ Cpe, + CPE, - CPI Statický vietor	Premenné Statické	LG5			Žiadny
3DWind37	180, +/- Cpe, - CPE, + CPI Statický vietor	Premenné Statické	LG5			Žiadny
3DWind38	180, -/+ Cpe, - CPE, + CPI Statický vietor	Premenné Statické	LG5			Žiadny
3DWind39	180, +/- Cpe, - CPE, - CPI Statický vietor	Premenné Statické	LG5			Žiadny
3DWind40	180, -/+ Cpe, - CPE, - CPI	Premenné	LG5			Žiadny

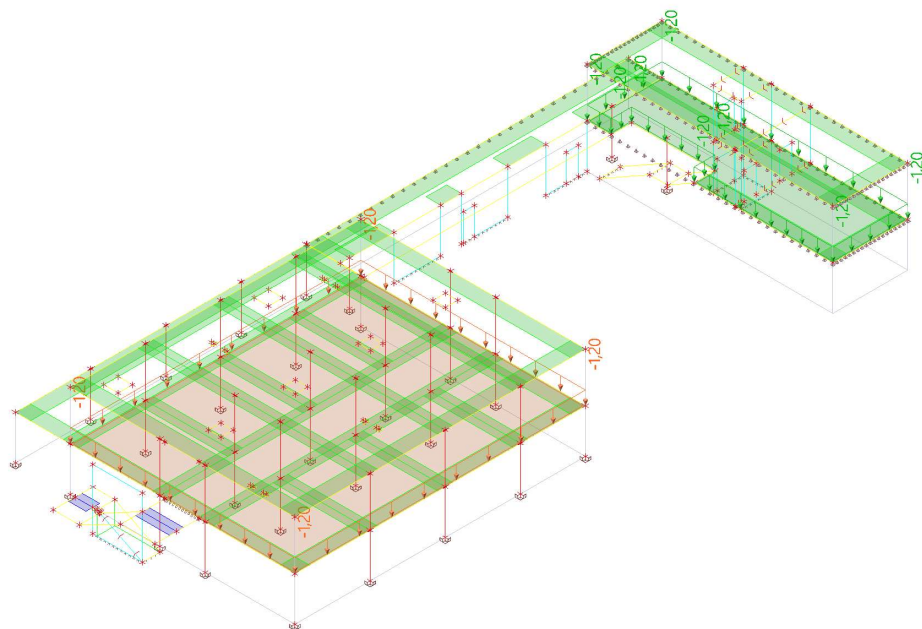
Projekt Rekonštrukcia a modernizácia základnej školy Hroncova 23

Názov	Popis	Typ pôsobenia	Zaťažovacia skupina	Smer	Dĺžka trvania	Vzorový zaťažovací stav
	Spec	Typ zaťaženia				
	CPI					
3DWind41	Statický vietor 270, +/- Cpe, + CPE, + CPI	Statické	LG5			Žiadny
3DWind42	Statický vietor 270, +/- Cpe, + CPE, + CPI	Statické	LG5			Žiadny
3DWind43	Statický vietor 270, +/- Cpe, + CPE, - CPI	Premenné	LG5			Žiadny
3DWind44	Statický vietor 270, +/- Cpe, + CPE, - CPI	Statické	LG5			Žiadny
3DWind45	Statický vietor 270, +/- Cpe, - CPE, + CPI	Premenné	LG5			Žiadny
3DWind46	Statický vietor 270, +/- Cpe, - CPE, + CPI	Statické	LG5			Žiadny
3DWind47	Statický vietor 270, +/- Cpe, - CPE, - CPI	Premenné	LG5			Žiadny
3DWind48	Statický vietor 270, +/- Cpe, - CPE, - CPI	Statické	LG5			Žiadny

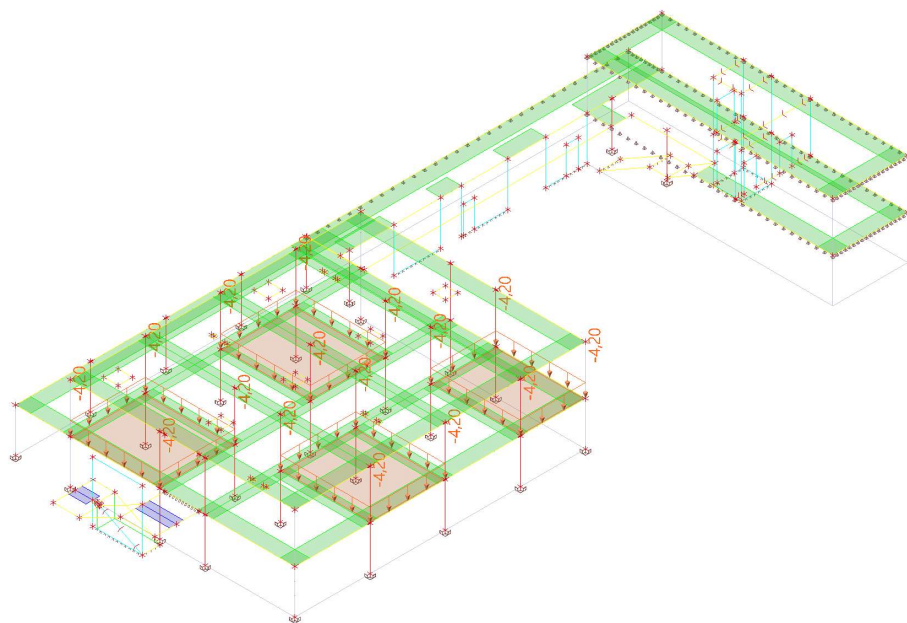
5.3. LC2 / stále zaťaženie



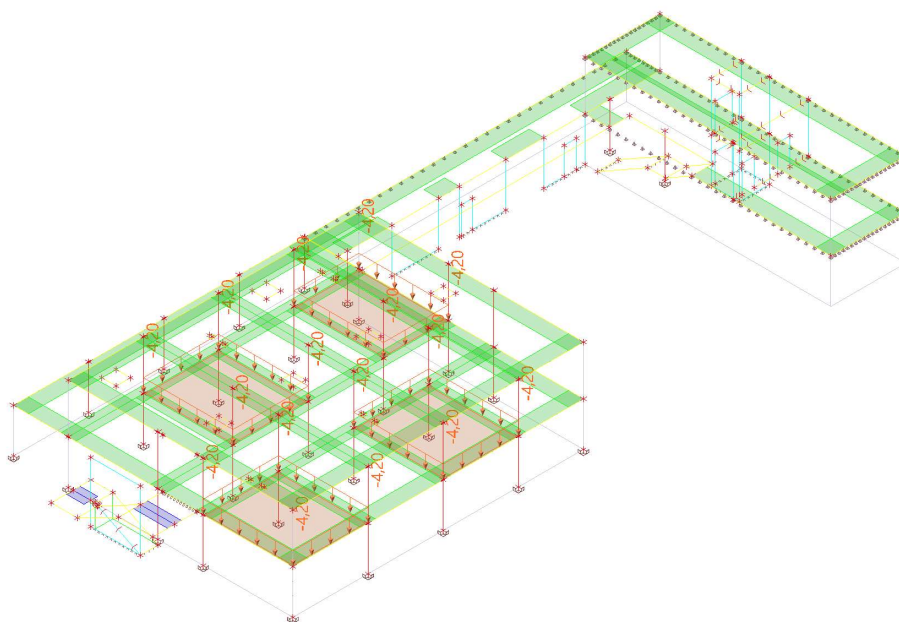
5.4. LC3 / Priečky



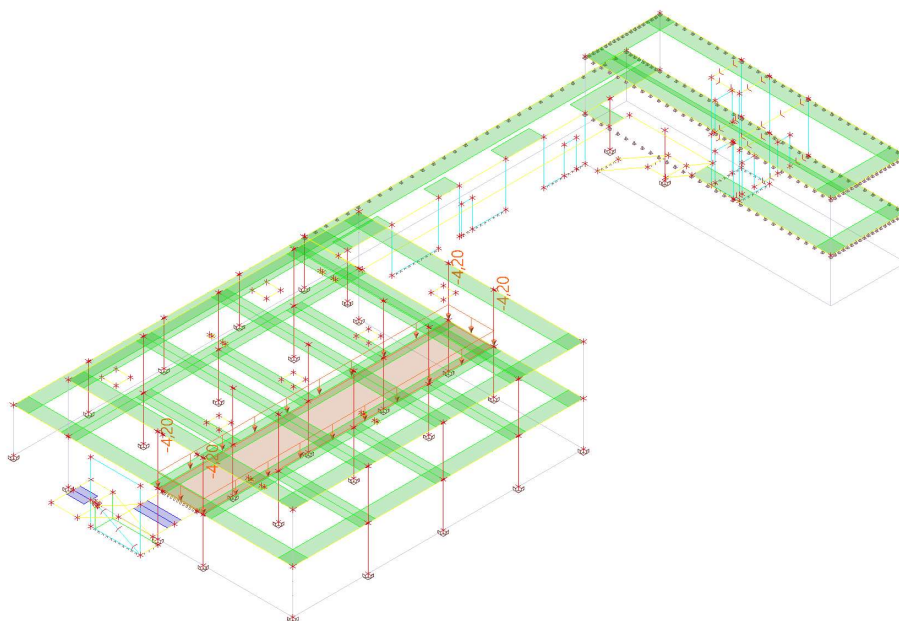
5.5. LC4 / Šachovnica 1



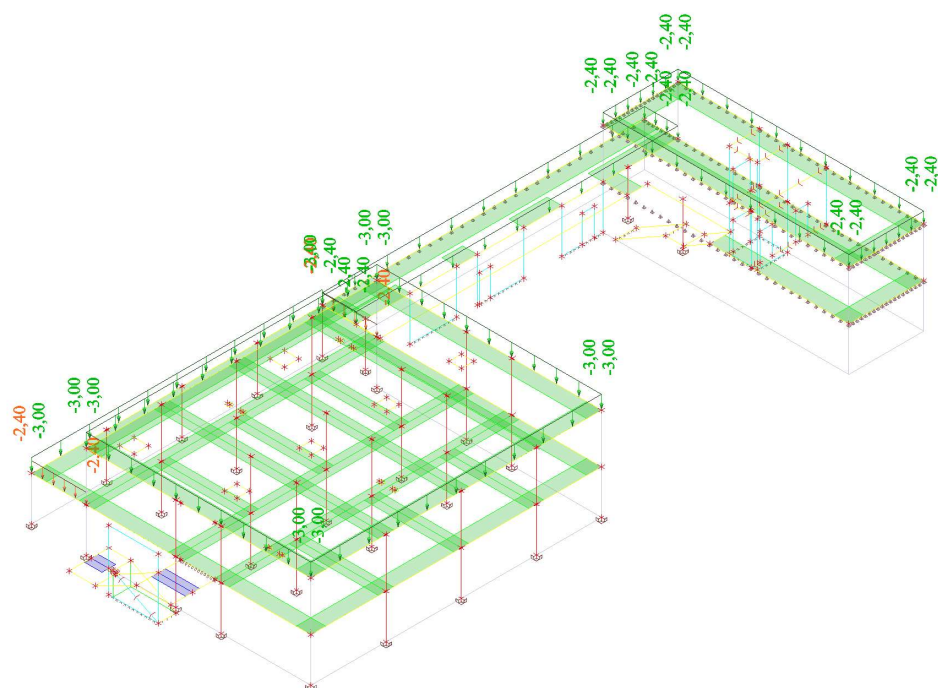
5.6. LC5 / Šachovnica 2



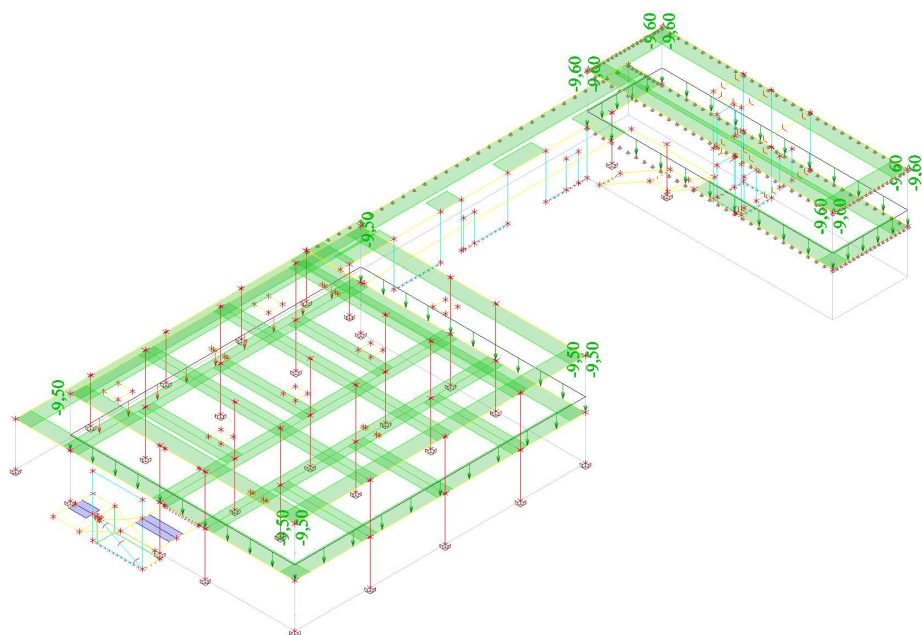
5.7. LC6 / Šachovnica 3



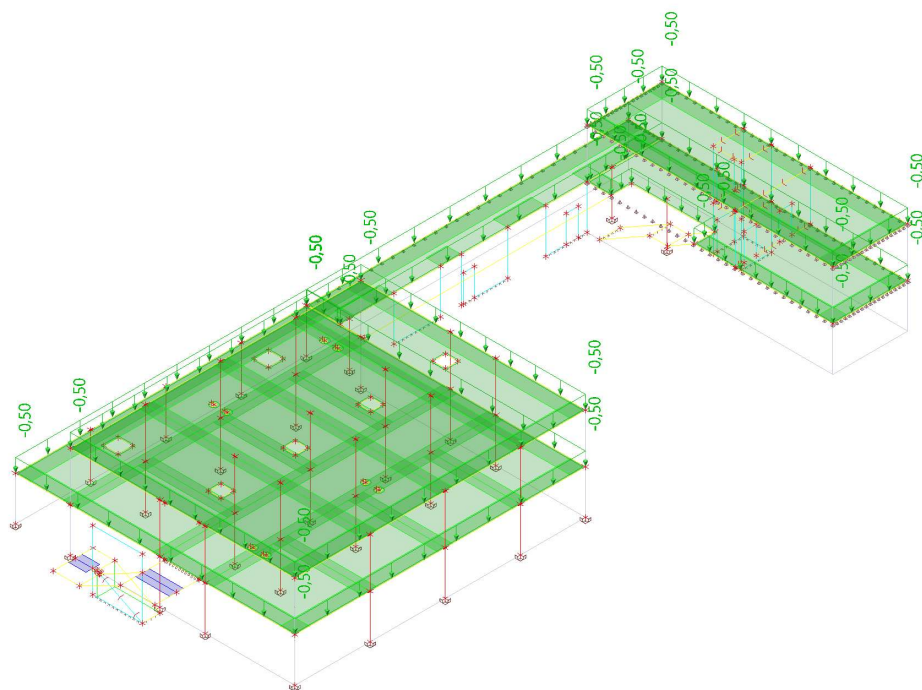
5.8. LC7 / zaťaženie atikou



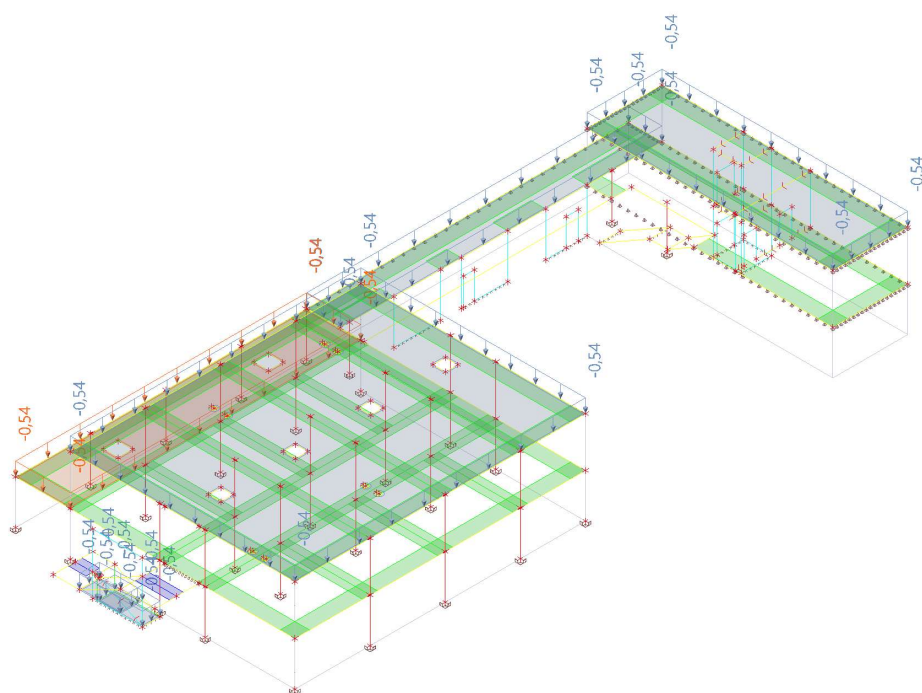
5.9. LC8 / zaťaženie od muriva



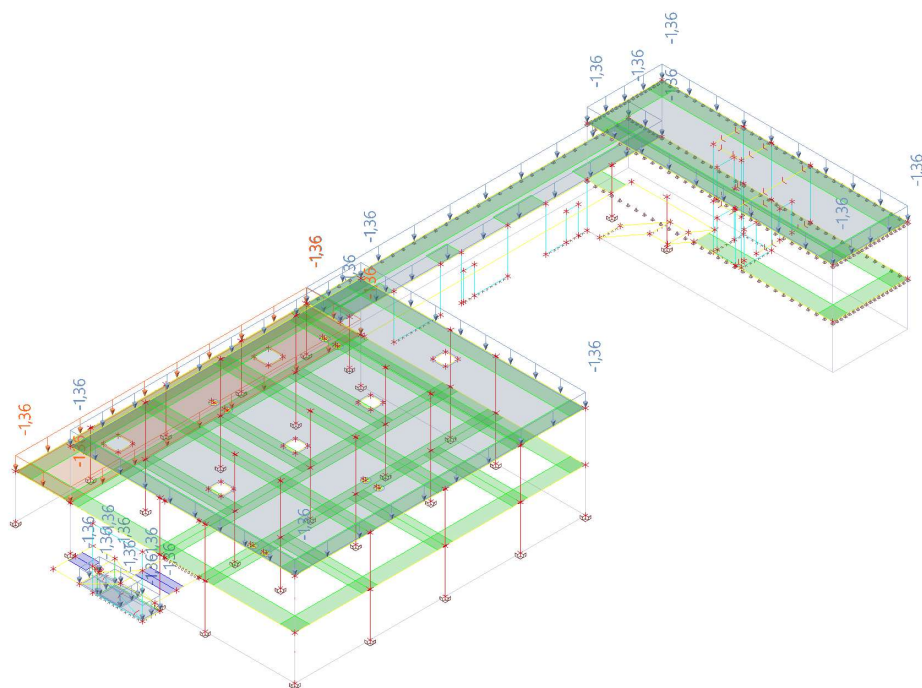
5.10. LC9 / Podhl'ady



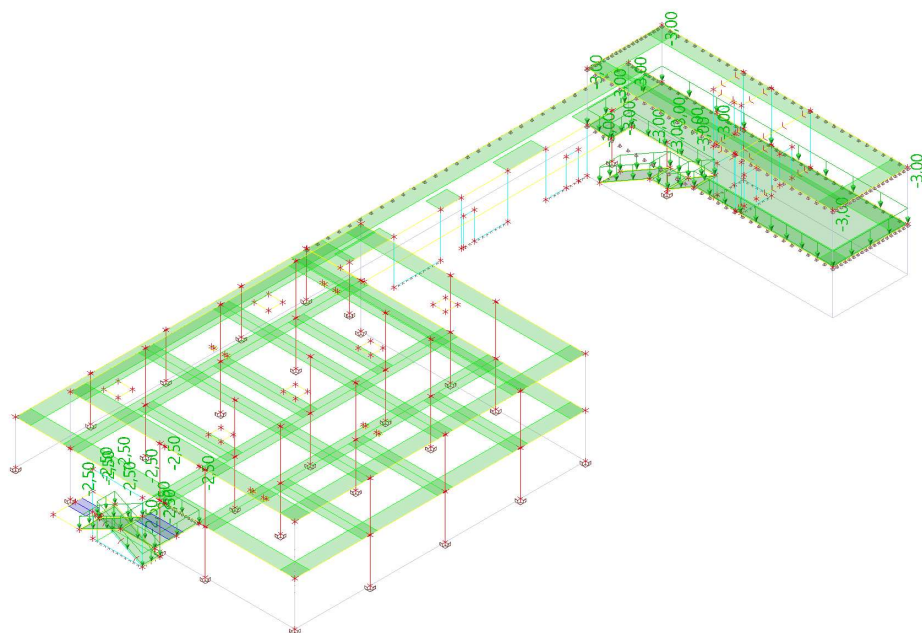
5.11. LC10 / Sneh



5.12. LC11 /Mimoriadny sneh



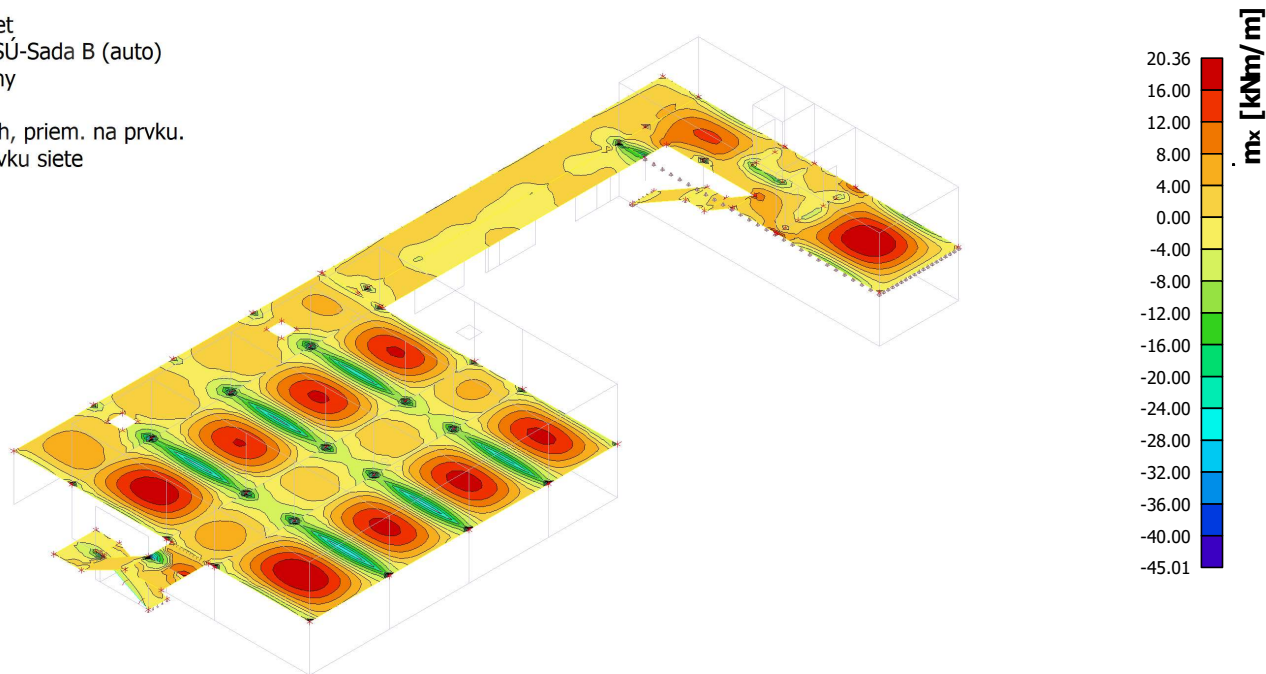
5.13. LC12 / Náhodilé zaťaženie



6. Výsledky

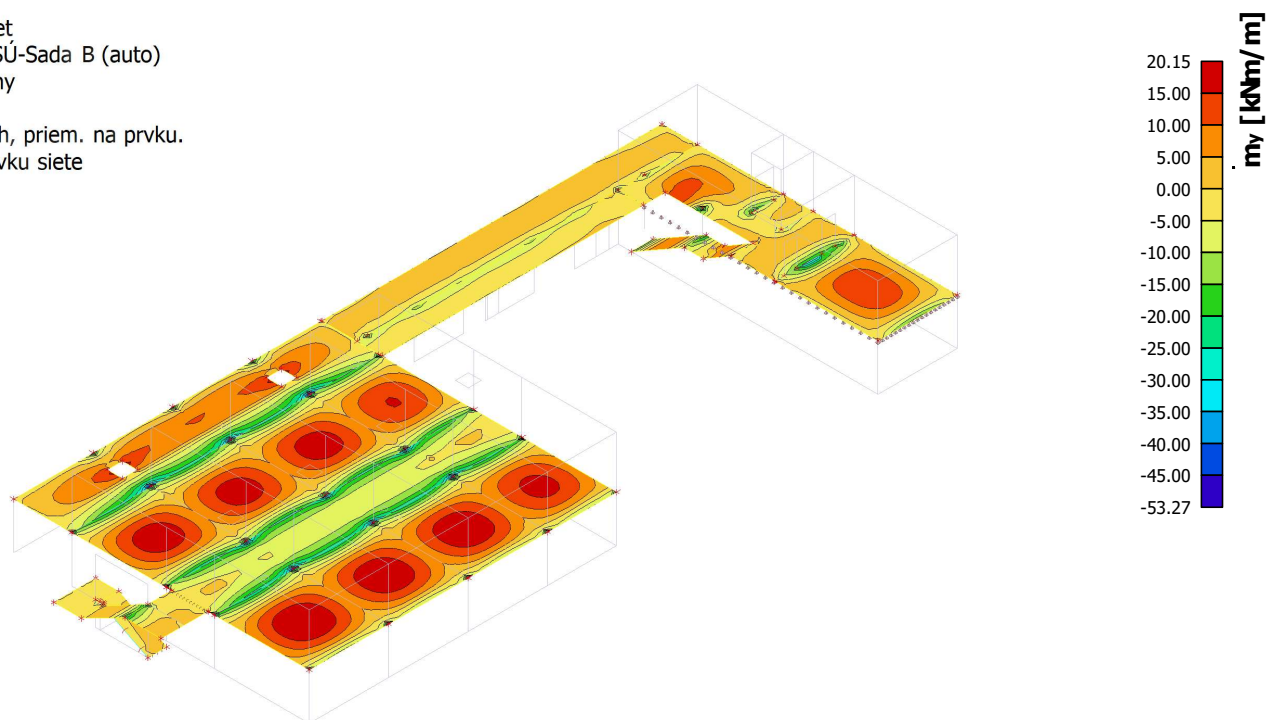
6.1. 2D vnútorné sily; m_x

Hodnoty: m_x
Lineárny výpočet
Kombinácia: MSÚ-Sada B (auto)
Extrém: Globálny
Výber: Všetko
Poloha: V uzloch, priem. na prvku.
Systém: LSS prvku siete



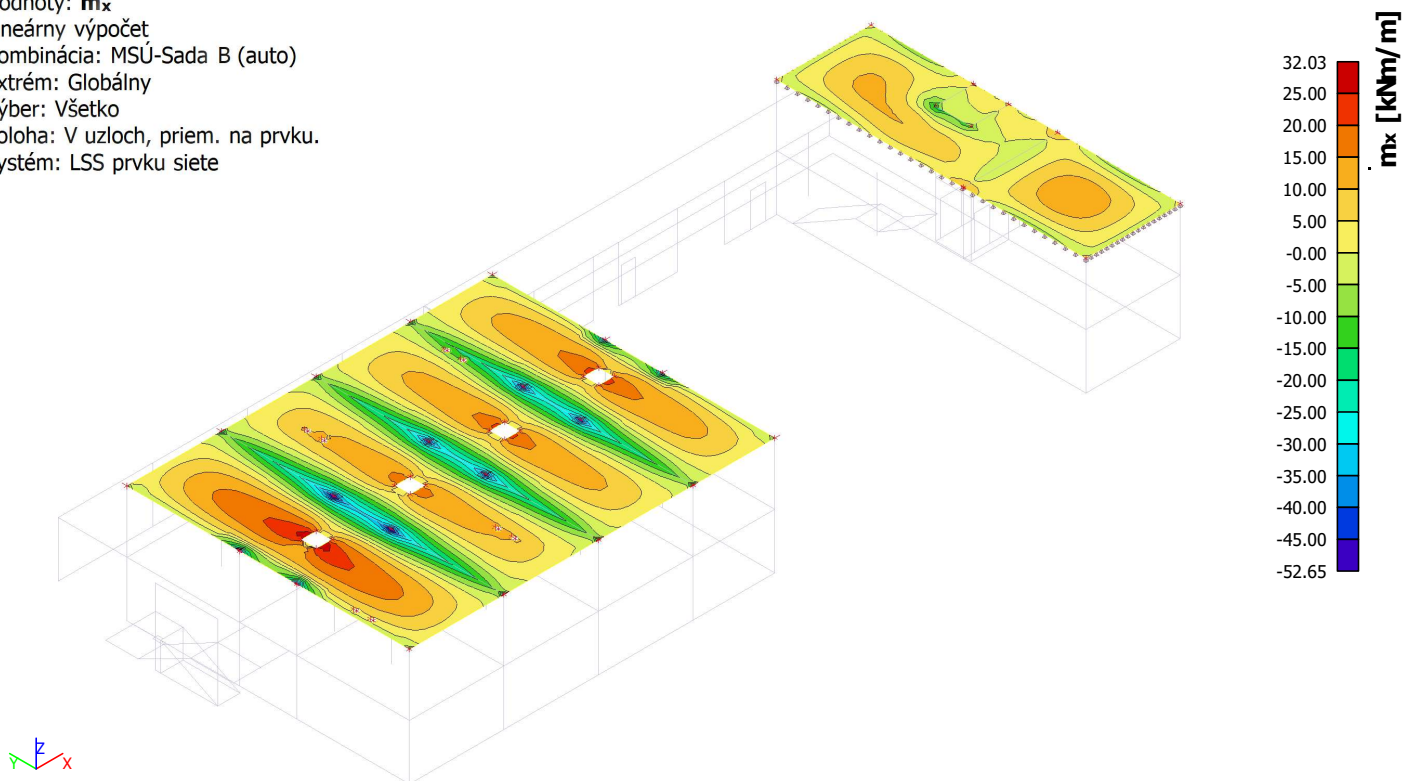
6.2. 2D vnútorné sily; m_y

Hodnoty: m_y
Lineárny výpočet
Kombinácia: MSÚ-Sada B (auto)
Extrém: Globálny
Výber: Všetko
Poloha: V uzloch, priem. na prvku.
Systém: LSS prvku siete



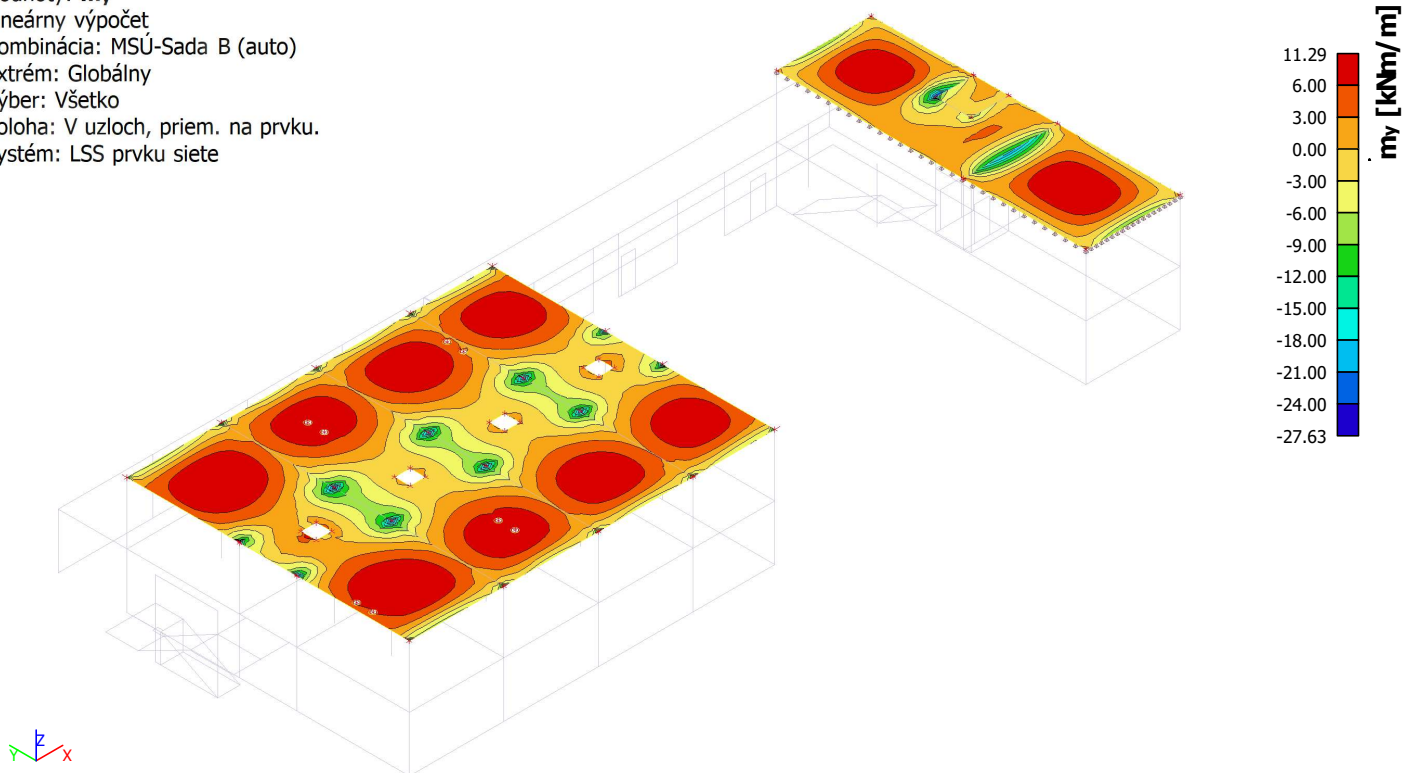
6.3. 2D vnútorné sily; m_x

Hodnoty: m_x
Lineárny výpočet
Kombinácia: MSÚ-Sada B (auto)
Extrém: Globálny
Výber: Všetko
Poloha: V uzloch, priem. na prvku.
Systém: LSS prvku siete



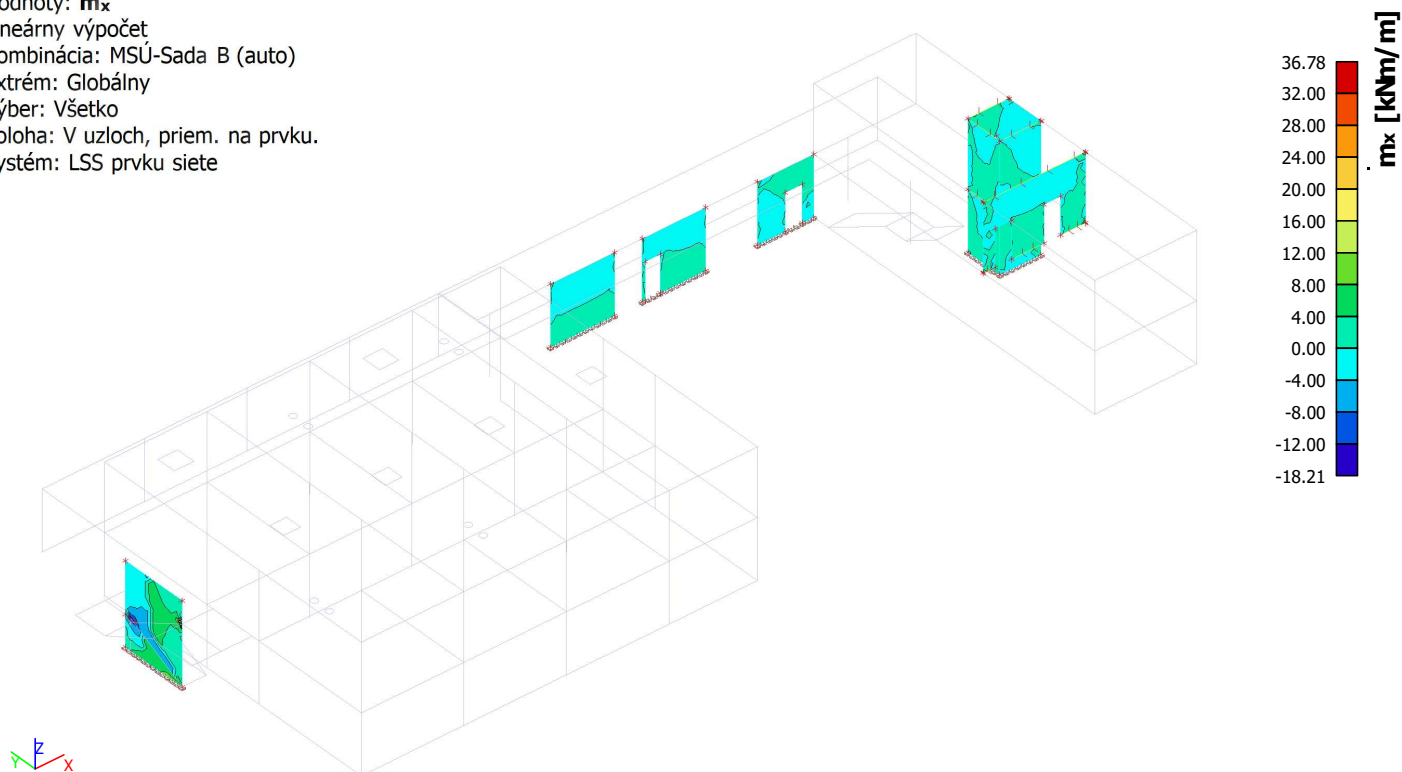
6.4. 2D vnútorné sily; m_y

Hodnoty: m_y
Lineárny výpočet
Kombinácia: MSÚ-Sada B (auto)
Extrém: Globálny
Výber: Všetko
Poloha: V uzloch, priem. na prvku.
Systém: LSS prvku siete



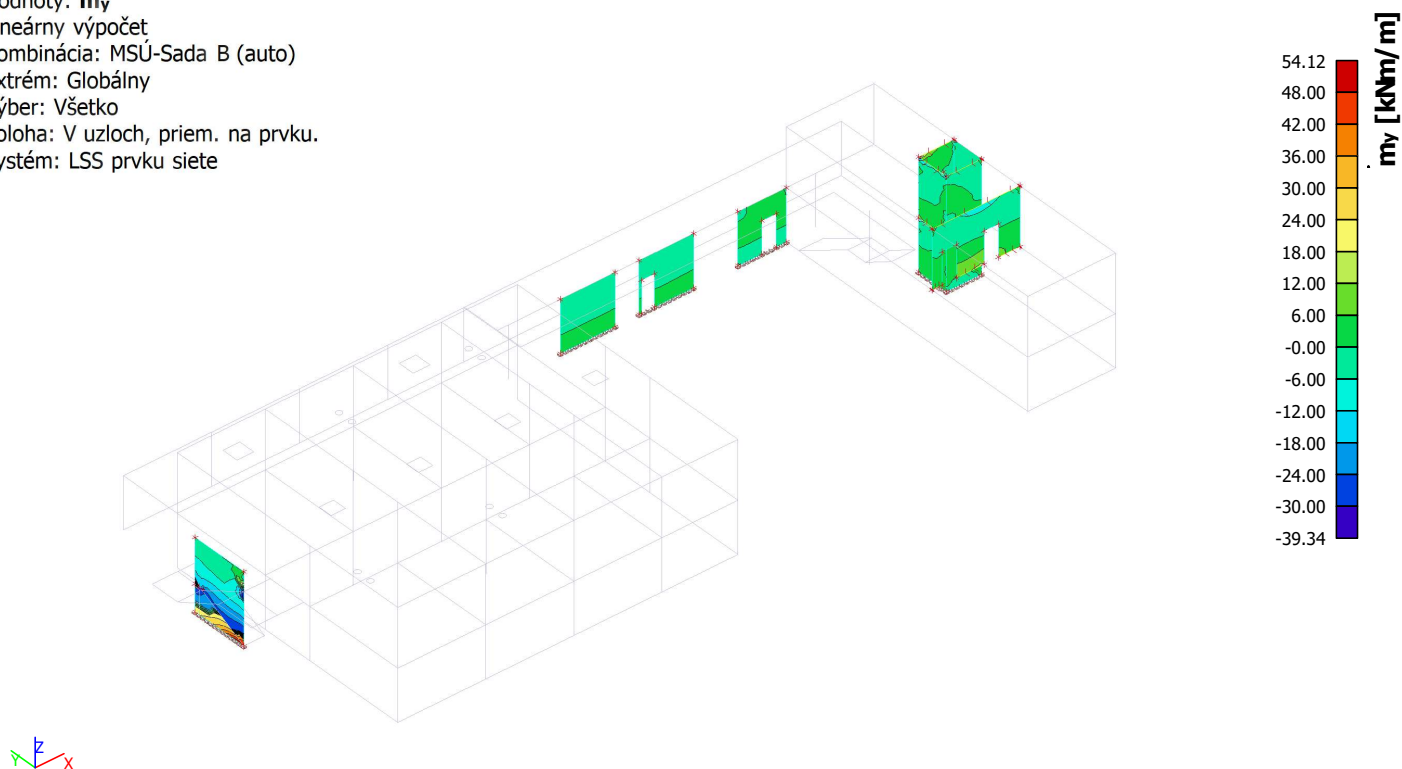
6.5. 2D vnútorné sily; m_x

Hodnoty: m_x
Lineárny výpočet
Kombinácia: MSÚ-Sada B (auto)
Extrém: Globálny
Výber: Všetko
Poloha: V uzloch, priem. na prvku.
Systém: LSS prvku siete



6.6. 2D vnútorné sily; m_y

Hodnoty: m_y
Lineárny výpočet
Kombinácia: MSÚ-Sada B (auto)
Extrém: Globálny
Výber: Všetko
Poloha: V uzloch, priem. na prvku.
Systém: LSS prvku siete



6.7. 1D vnútorné sily; N

Hodnoty: **N**

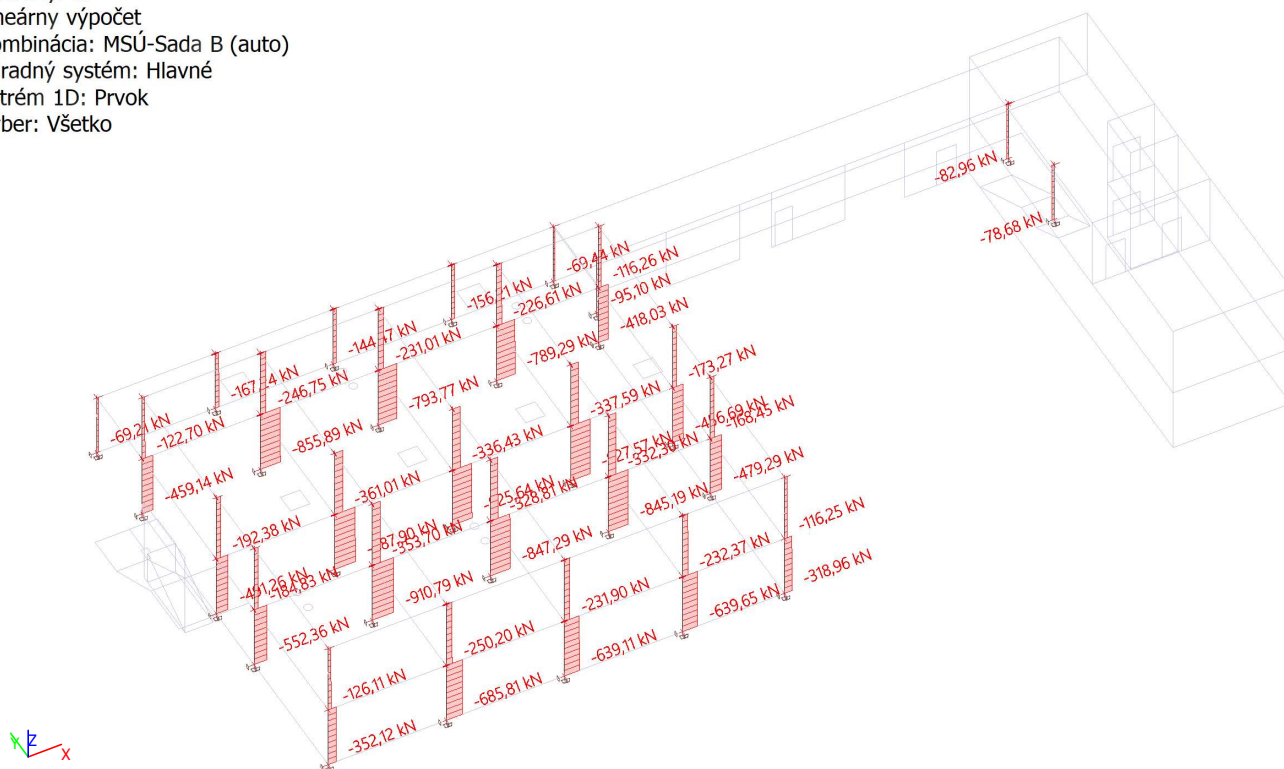
Lineárny výpočet

Kombinácia: MSÚ-Sada B (auto)

Súradný systém: Hlavné

Extrém 1D: Prvok

Výber: Všetko



6.8. 1D vnútorné sily; M_y

Hodnoty: **M_y**

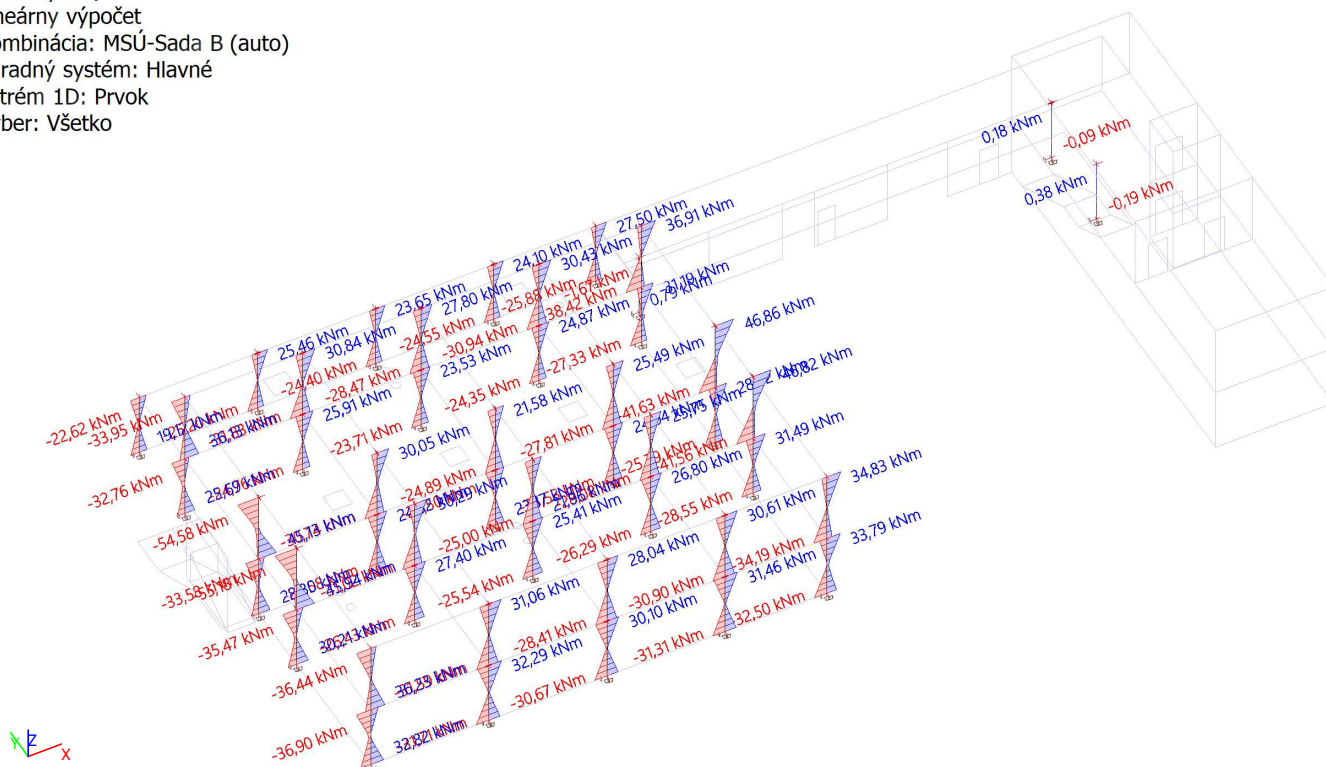
Lineárny výpočet

Kombinácia: MSÚ-Sada B (auto)

Súradný systém: Hlavné

Extrém 1D: Prvok

Výber: Všetko



6.9. 1D vnútorné sily; M_y

Hodnoty: M_y

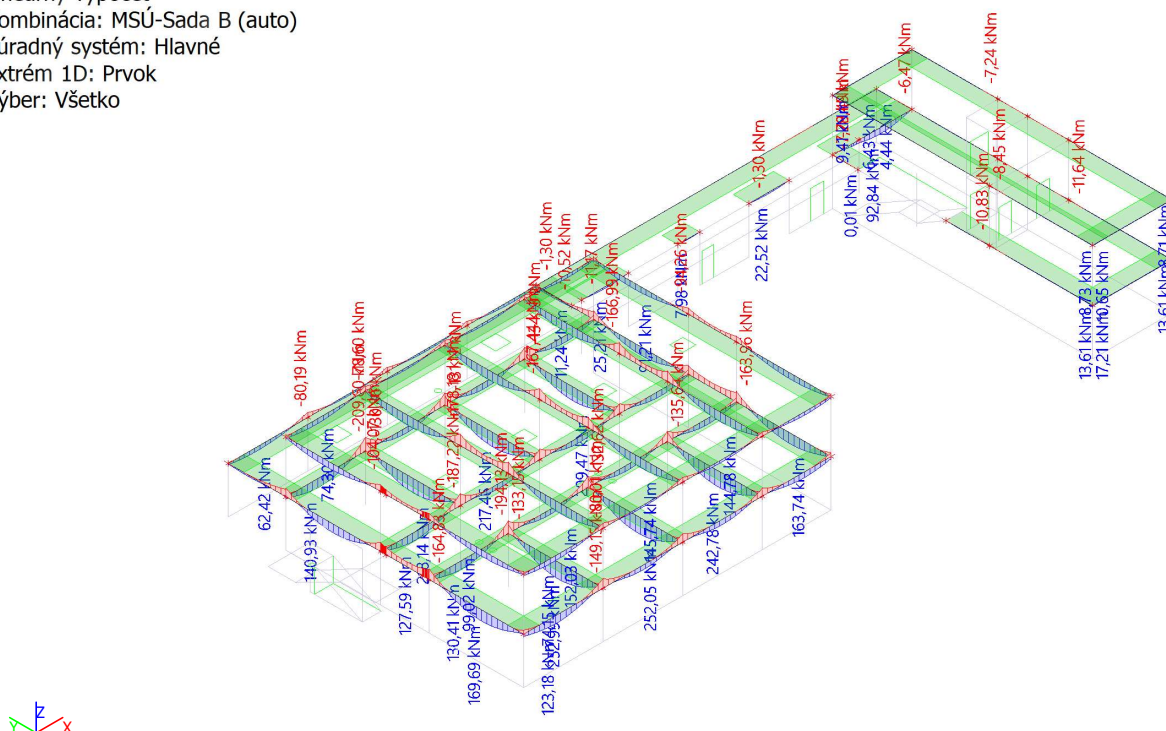
Lineárny výpočet

Kombinácia: MSÚ-Sada B (auto)

Súradný systém: Hlavné

Extrém 1D: Prvok

Výber: Všetko



6.10. 1D vnútorné sily; V_z

Hodnoty: V_z

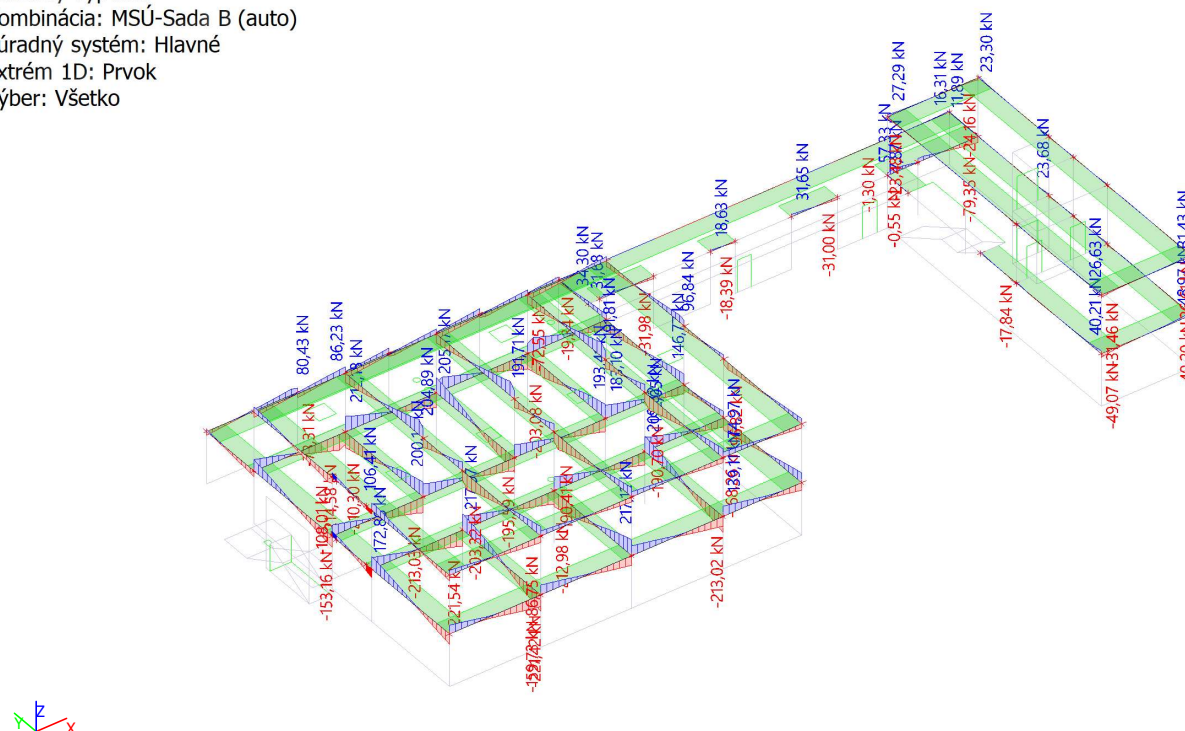
Lineárny výpočet

Kombinácia: MSÚ-Sada B (auto)

Súradný systém: Hlavné

Extrém 1D: Prvok

Výber: Všetko



6.11. 3D premiestnenie; U_{total}

Hodnoty: U_{total}

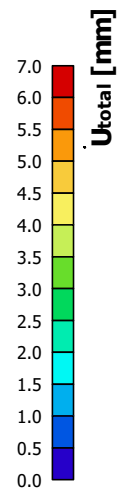
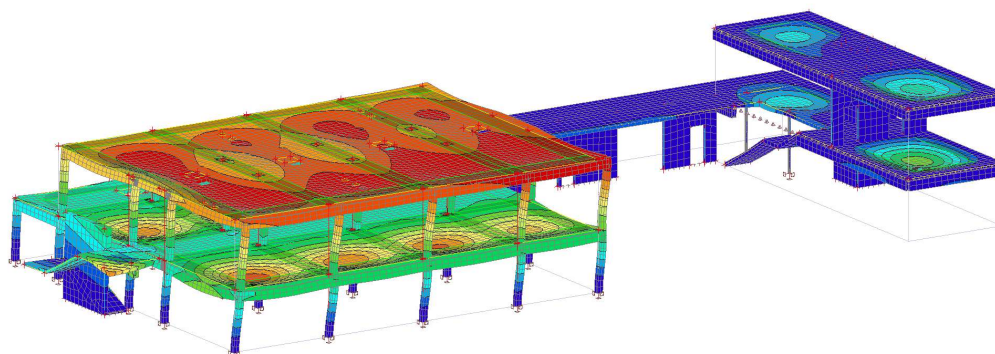
Lineárny výpočet

Kombinácia: MSÚ-Sada B (auto)

Výber: Všetko

Poloha: V uzloch, priem. na prvku.

Systém: LSS prvku siete




1. Obsah


1. Obsah	1
2. Materiály	1
3. Prierezy	1
4. Výpočtový model	2
5. Zaťaženia	2
5.1. Zaťažovacie skupiny	2
5.2. Zaťažovacie stavy	3
5.3. LC2 / Vrstvy strechy	3
5.4. LC3 / Tiaž atiky	4
5.5. LC4 / Tiaž okna	4
5.6. LC5 / Sneh	5
5.7. LC6 / Mimoriadny sneh	5
6. Výsledky	6
6.1. 1D vnútorné sily; N	6
6.2. 1D vnútorné sily; V _z	6
6.3. 1D vnútorné sily; M _y	7
6.4. Reakcie; R _z	7
6.5. Posudok oceľových prvkov na MSÚ EC-EN 1993; Celkový posudok	8
7. Posudok oceľových prvkov na MSÚ EC-EN 1993	8

2. Materiály


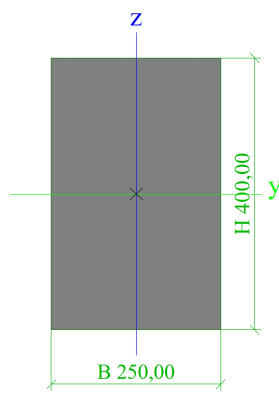
Oceľ EC3


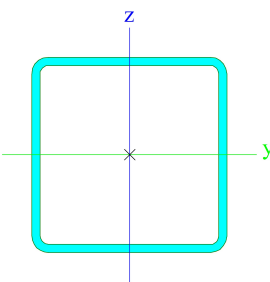
Názov	ρ [kg/m ³]	E_{mod} [MPa]	μ	Spodný limit [mm]	Horný limit [mm]	F_y [MPa]	F_u [MPa]	Farba
		G_{mod} [MPa]	α [m/mK]					
S 235	7850,00	2,1000e+05	0.3	0,00	40,00	235,0	360,0	
		8,0769e+04	0,01e-003	40,00	80,00	215,0	360,0	

Betón EC2

Názov	Typ	ρ [kg/m ³]	E_{mod} [MPa]	μ	α [m/mK]	$f_{c,k,28}$ [MPa]	Farba
C25/30	Betón	2500,00	3,1500e+04	0.2	0,01e-003	25,00	

3. Prierezy

Stĺp 400x250	
Typ	Obdĺžnik
Detailný	400,00; 250,00
Typ tvaru	Hrubostenný
Materiálová položka	C25/30
Výroba	betón
Farba	
Obrázok	
Oceľový stĺp	
Typ	CFRHS120X120X5
Kód tvaru	2 - Obdĺžnikový dutý prierez
Typ tvaru	Tenkostenný

Materiálová položka	S 235
Výroba	tvarovaný za studena
Farba	
Obrázok	

4. Výpočtový model



5. Zat'azenia

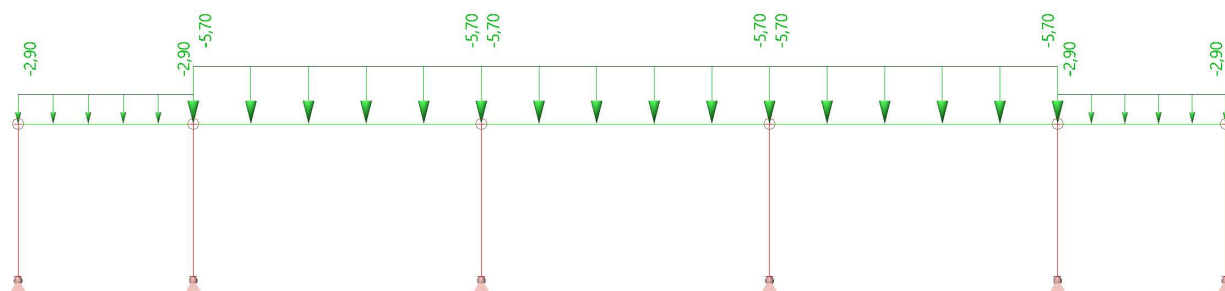
5.1. Zat'azovacie skupiny

Názov	Zat'azenie	Špecifikácia	Typ
LG1	Stále		
LG2	Premenné	Štandard	Kat C : zhromaždiská
LG3	Premenné	Štandard	Sneh
LG4	Mimoriadne	Výberová	
LG5	Premenné	Výberová	Vietor

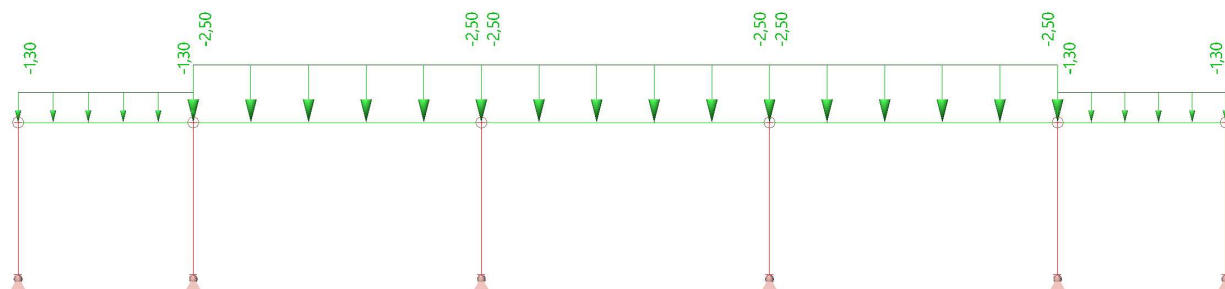
5.2. Zaťažovacie stavy

Názov	Popis	Typ pôsobenia	Zaťažovacia skupina	Smer	Dĺžka trvania	Vzorový zaťažovací stav
	Spec	Typ zaťaženia				
LC1	Vlastná tiaž	Stále Vlastná tiaž	LG1	-Z		
LC2	Vrstvy strechy	Stále Štandard	LG1			
LC3	Atika	Stále Štandard	LG1			
LC4	Okno	Stále Štandard	LG1			
LC5	Sneh Štandard	Premenné Statické	LG3		Krátkodobé	Žiadny
LC6	Sneh - mimoriadny Štandard	Premenné Statické	LG4		Krátkodobé	Žiadny

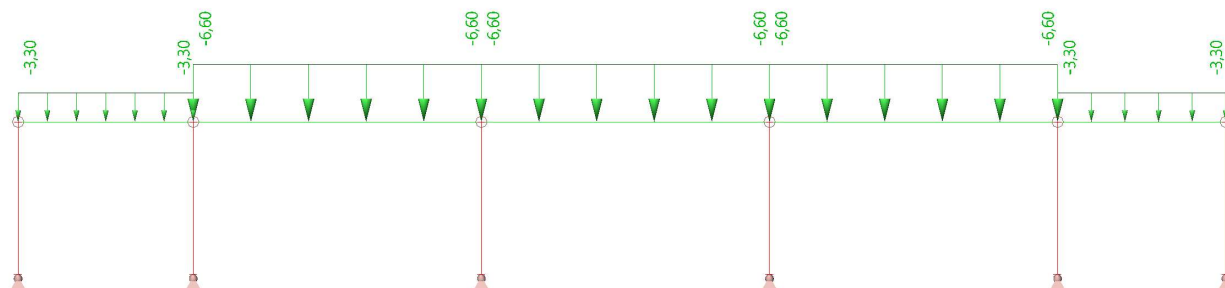
5.3. LC2 / Vrstvy strechy



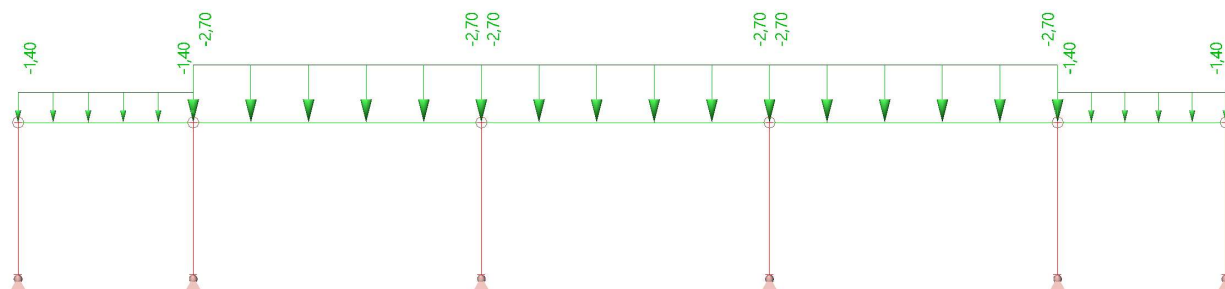
5.4. LC3 / Tiaž atiky



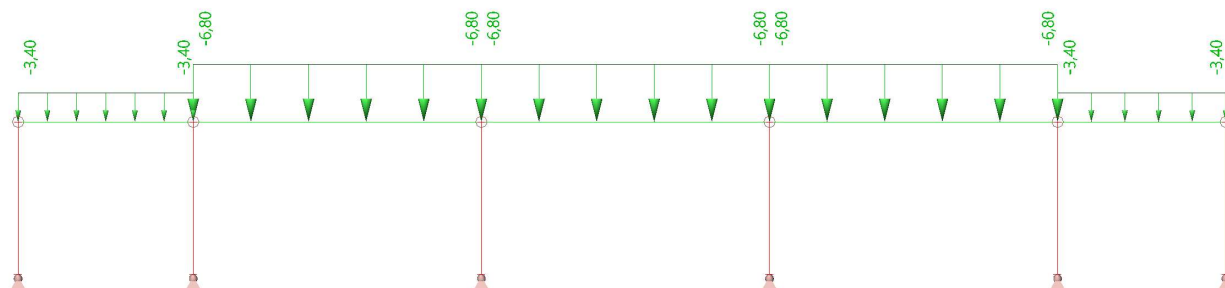
5.5. LC4 / Tiaž okna



5.6. LC5 / Sneh



5.7. LC6 / Mimoriadny sneh



6. Výsledky

6.1. 1D vnútorné sily; N

Hodnoty: N

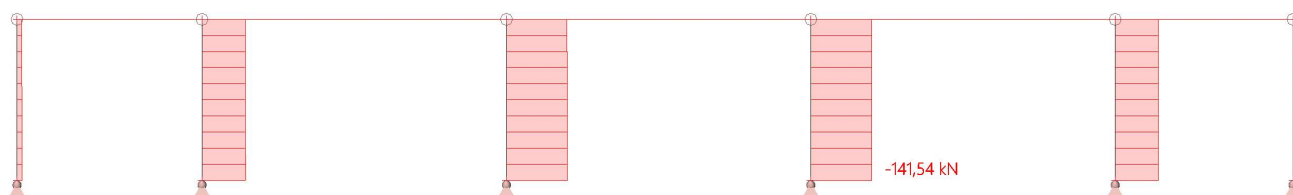
Lineárny výpočet

Kombinácia: MSÚ-Sada B (auto)

Súradný systém: Hlavné

Extrém 1D: Globálny

Výber: Všetko



6.2. 1D vnútorné sily; V_z

Hodnoty: V_z

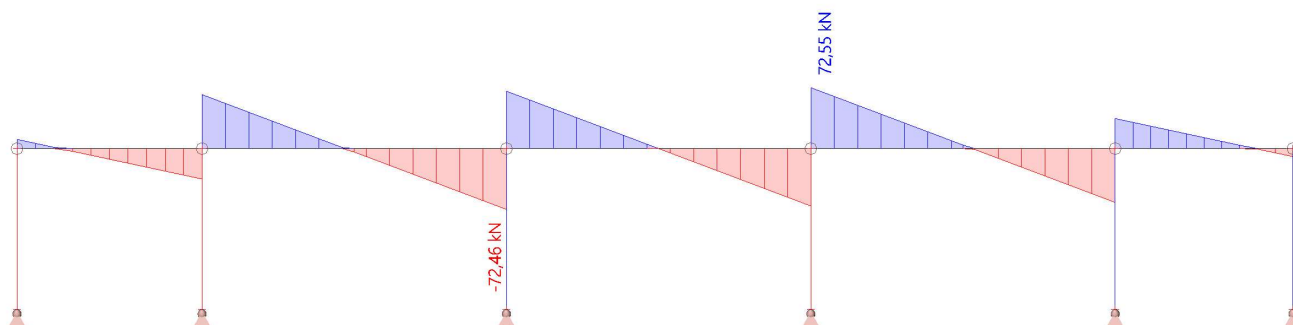
Lineárny výpočet

Kombinácia: MSÚ-Sada B (auto)

Súradný systém: Hlavné

Extrém 1D: Globálny

Výber: Všetko



6.3. 1D vnútorné sily; M_y

Hodnoty: M_y

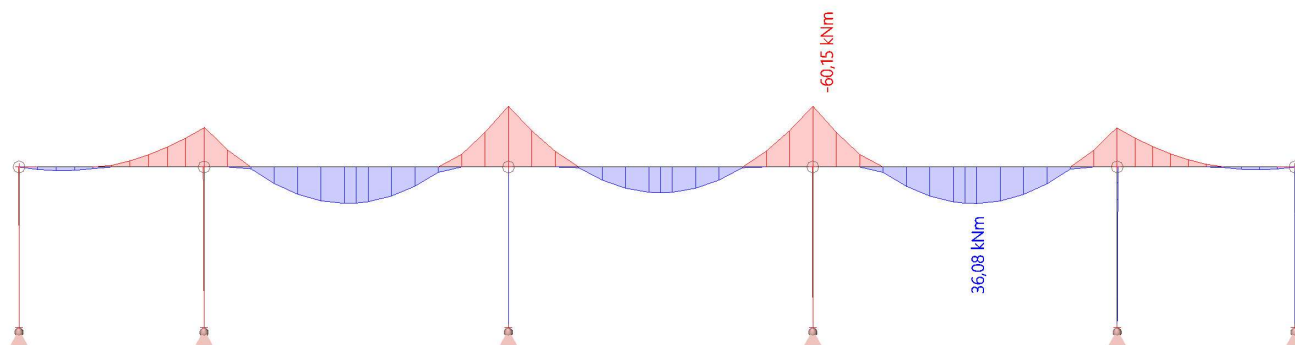
Lineárny výpočet

Kombinácia: MSÚ-Sada B (auto)

Súradný systém: Hlavné

Extrém 1D: Globálny

Výber: Všetko



6.4. Reakcie; R_z

Hodnoty: R_z

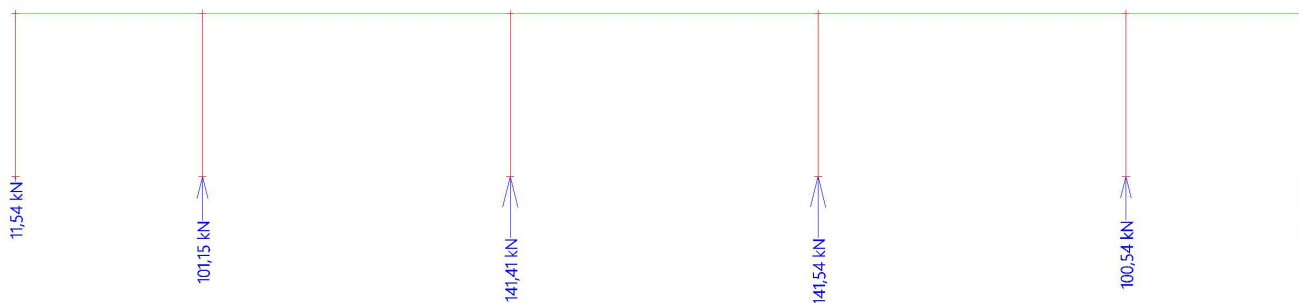
Lineárny výpočet

Kombinácia: MSÚ-Sada B (auto)

Systém: Globálny

Extrém: Prvok

Výber: Všetko



6.5. Posudok ocel'ových prvkov na MSÚ EC-EN 1993; Celkový posudok

Hodnoty: **UC_{celkový}**
 Lineárny výpočet
 Kombinácia: MSÚ-Sada B (auto)
 Súradný systém: Hlavné
 Extrém 1D: Prvok
 Výber: Všetko



7. Posudok ocel'ových prvkov na MSÚ EC-EN 1993

Hodnoty: **UC_{celkový}**
 Lineárny výpočet
 Kombinácia: MSÚ-Sada B (auto)
 Súradný systém: Hlavné
 Extrém 1D: Globálny
 Výber: Všetko

Celkový posudok

Názov	dx [mm]	Stav	Prierez	Materiál	UC _{celkový} [-]	UC _{prierez} [-]	UC _{stabilita} [-]
B4	0,000	MSÚ-Sada B (auto)/1	Oceľový stĺp - CFRHS120X120X5	S 235	0,64	0,27	0,64

Názov	Kľúč kombinácií
MSÚ-Sada B (auto)/1	1.35*LC1 + 1.35*LC2 + 1.35*LC3 + 1.35*LC4 + 1.50*LC5